

Ing. ST. SPRÎNCEANĂ, Ing. CAROL FLOREA

CONSTRUCȚII RADIO
TELECOMANDA PRIN RADIO
A
NAVO- ȘI AEROMODELELOR



EDITURA TEHNICĂ
BUCUREȘTI - 1966

Broșura explică principiile telecomenzii prin radio și prezintă scheme de emițătoare și radiorreceptoare utilizate în telecomanda prin radio a navo- și aeromodelilor. Schemele conțin date constructive. Se dau indicații pentru construcția și reglarea montajelor realizate.

Lucrarea se adresează tehnicienilor radio și în special radioamatorilor.

CAPITOLUL I

PRINCIPIILE TELECOMENZII PRIN RADIO

Undele radio și-au găsit de la început aplicații în transmiterea informației între oameni, întâi prin telegrafie și fonie, iar azi prin televiziune.

În ultimii ani, însă, s-a acordat atenție deosebită telecomenzii ca o ramură cu importante aplicații, cum ar fi: în sisteme energetice, transport aerian, pe apă, schele petroliere, uzine mari, mine, sisteme de irigații, gospodării comunale etc.

Datorită dezvoltării tehnicii actuale (în special folosirii semiconductoarelor), transmiterea informației cu caracter de telecomandă (telesemnălizare, telemăsurare sau telereglare), se realizează cu suficientă siguranță în funcționare.

Spre deosebire de telecomunicații, instalațiile de telecomandă prezintă unele particularități și anume:

- se folosește o bandă de frecvență radio mai îngustă decât în radiofonic și cu mult mai îngustă față de televiziune;
- în telecomandă, elementul de intrare și ieșire îl formează, de obicei, chei de comandă, aparate indicatoare, înregistratoare, relee sau alte organe de execuție;
- siguranța în transmiterea informației reprezintă o condiție deosebit de importantă. Defecțiunile accidentale pot duce la avarii ale instalațiilor primare, ceea ce nu este altul decât de grav în telecomunicații;
- sistemele de telemecanizare se caracterizează și prin schemele de funcționare. De exemplu, se utilizează o stație recepție centralizată care culege informații de la un număr de emițătoare dispersate, cum ar fi cele din schelele petroliere.

În fig. 1.1 se reprezintă ansamblul unor instalații de control al sondelor în pompaj. Fiecare sondă este prevăzută cu cite un emițător care, în timpul funcționării, transmite un semnal de control.

Postul de dispecer PD este dotat cu trei radioreceptoare,

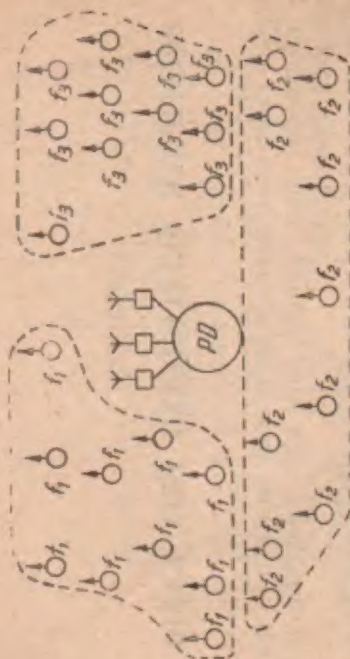


Fig. 1.1. Sistemul de control de la un post de dispecer, pe canale radio, al obiectelor dispersate:

PD — Post de dispecer; f_1, f_2, f_3 — frecvențele purtătoare ale stațiilor radio.

fiecare lucrînd pentru un grup de sonde pe frecvența respectivă f_1, f_2 sau f_3 .

De obicei, postul de recepție centralizat, îndeplinește rolul unui post dispecer cu posibilitatea de a prelucra informațiile primite și de a emite înapoi telecomenzi pentru reglare etc.

La executarea unor scheme, cum ar fi cele industriale, se ține seamă de anumite condiții, enumerate în cele ce urmează.

— Sistemul telecomandat trebuie să lucreze fără personal de serviciu (nivelul de automatizare impus satisface asemenea cerințe).

— Se caută să se simplifice numărul semnalelor necesare telecomenzilor, prin combinarea și completarea instalațiilor de automatizare (în multe cazuri semnalele cu caracter de telecontrol sînt preferate celor de telereglaj sau telecomandă).

— Numărul posturilor de emisie se micșorează prin gruparea lor în limita posibilităților.

— Tot pentru a mări siguranța în funcționare, postul dispecer este dotat cu un al doilea grup emițător-receptor, de

rezervă. Comutarea pe acesta trebuie să se execute automat și fără a introduce informații parazite.

— Siguranța în funcționare este mărită și dacă se va evita cit mai mult folosirea elementelor cu posibilități mai mari de defectare, cum ar fi: tuburi electronice, relee electromagnetice sau alte elemente cu contacte (elementele fără contacte și în special, semiconductoarele sînt cele mai indicate).

În nici un caz, apariția unor circuite sau defectarea unor piese nu trebuie să ducă la generarea semnalelor false.

— Sursele de alimentare ale posturilor de emisie dispărute trebuie să asigure în bună măsură funcționarea nelătruptă a instalației.

— Sistemele de automatizare, telemecanizare (telemăsură, telesemnalizare, telecomandă sau telereglare) trebuie concepute în așa fel, încît să fie posibilă o dezvoltare ulterioară sau adaptarea la automatizări complexe o dată cu trecerea la procedee tehnologice mai moderne.

Comanda prin radio a diverselor operații s-a dezvoltat mai mult în cursul și după cel de-al 2-lea război mondial.

Înainte de această perioadă, această tehnică nu a fost practică deosebit de un număr restrîns de specialiști și cîțiva amatori, care au efectuat cercetări pentru satisfacerea lor personală. La noi în țară, în cartea profesorului Mihail Konteschweller, publicată în anul 1946, s-au descris o serie de aparate de telecomandă, permițînd amatorilor cu cunoștințe de electricitate și mecanică să-și poată construi modele de vapoare telecomandate.

Telecomanda prin radio se poate defini în modul următor: posibilitatea de a comanda la distanță aparate fixe sau mobile cu ajutorul undelor electromagnetice.

Termenul de telecomandă poate fi utilizat și singur, prin acesta înțelegîndu-se o comandă prin fir sau mecanică. De asemenea se mai folosesc și termeni ca teleghidaj ori radio-ghidaj, care au același sens cu telecomanda prin radio, fiind însă întrebuiți atunci cînd se discută despre rachetele ce posedă sistem de ghidare. Tot în acest caz mai poate fi întrebuițat și cuvîntul radiocontrol, cuvîntul control însemnînd în limba engleză comandă.

În principiu, o instalație de radiocomandă se compune din două părți esențiale: partea emițătoare și partea receptoare.

Prin definiție, partea emițătoare este în principiu fixă, iar partea receptoare se găsește la bord și poate fi mobilă.

Legătura între emițător și receptor se face prin unde electromagnetice. Receptorul recepționează semnalele, le interpretează și le transformă în acțiuni mecanice. Semnalele detectate și amplificate la recepție acționează un releu selector care, la rândul lui, efectuează o comandă mecanică (de exemplu: un motor). Aceste relee selectoare pot da una sau mai multe comenzi, care se pot numi căi sau canale și funcționează pe bază de impulsuri sau pe bază de frecvențe.

CAPITOLUL II

PRINCIPALELE SCHEME-BLOC PENTRU TELECOMANDA PRIN RADIO

În fig. II.1 este prezentată schema-bloc a montajului pentru realizarea unei telecomenzi prin radio.

Emițătorul 1 este pus în funcție prin închiderea întreruptorului 8. Receptorul 2, acordat pe aceeași frecvență, sesizează semnalul modulat care, după detecție și amplificare, acționează releul 3. Contactele acestuia închid circuitul lămpii de

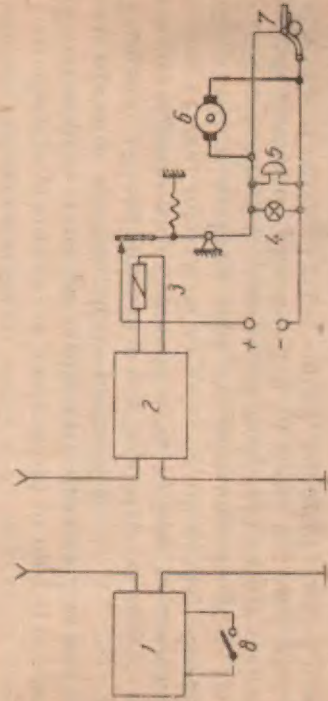


Fig. II.1. Schema-bloc a montajului pentru telecomandă prin radio;

1 — radioemițător; 2 — radioreceptor; 3 — releu electromagnetic; 4, 5, 6, 7 — circuite de utilizare; 8 — întreruptorul emițătorului.

semnalizare 4, soneriei 5, motorului 6 și circuitul unui tun 7 cu tragere automată.

Prin urmare, montajul prezintă câteva particularități față de aparatura folosită în telecomunicații: sensibilitatea receptorului precum și puterea emițătorului sînt inferioare

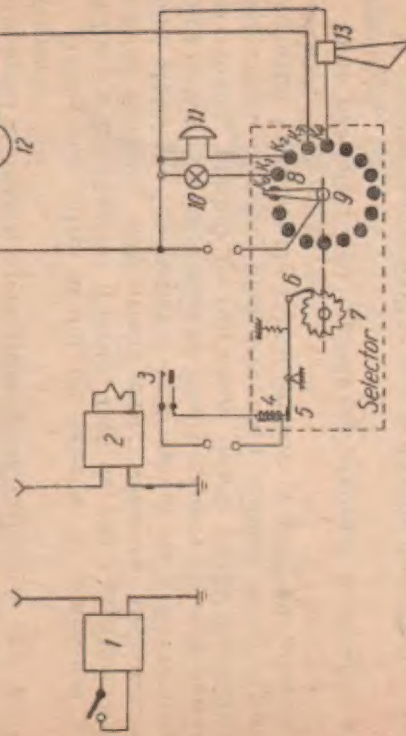


Fig. II.2. Schema-bloc a montajului pentru telecomandă folosind un selector mecanic la receptor:

1 — radioemițător; 2 — radioreceptor; 3 — releu selector; 4 — bobina releului selector; 5 — armătura; 6 — opritor; 7 — pînion elichei; 8 — ploturile de contact; 9 — cursor; 10, 11, 12, 13 — circuite de utilizare.

celor folosite în trafic, întrucît condiția ce li se impune este de a realiza legături pe distanțe mici (de ordinul sutelor de metri).

Instalația de radiotelecomandă dotată cu selector mecanic. În fig. II.2 s-a prezentat ansamblul pentru transmiterea mai multor comenzi pe rînd, utilizînd un selector mecanic.

Montajul este prevăzut cu emițător și receptor ca în fig. II.4. Releul de acționare închide de data aceasta circuitul bobinei selectorului.

Dacă se pune în funcțiune emițătorul, prin cuplarea repetată a întreruptorului său, releul din etajul final al receptorului își va închide contactele 3 tot de același număr de ori, succesiv. Armătura 5 a bobinei selectorului comută cursorul 8 pe ploturile K_0, K_1, \dots, K_n .

Se pot conecta diferite circuite de utilizare (motor, lămpă semnalizare, sonerie etc.) pe ploturile amintite, după cum se vede în schemă.

Cu o instalație simplă de acest gen se pot utiliza mai multe cîmpuri de contacte, ajungînd, de exemplu, la 300 circuite diferite de utilizare. Evident, la realizarea unui asemenea montaj trebuie să se prevadă și posibilitatea de revenire a selectorului pe poziția inițială, precum și evitarea parazitilor provocați de contactele sale.

Pentru telecomanda modelelor se preferă, de obicei, principiul selecționării comenzilor prin utilizarea mai multor frecvențe diferite.

Deosebirea între modul de selecție a comenzilor prin utilizarea frecvențelor diferite, față de cazul utilizării selectorului mecanic, este următoarea: selectorul mecanic telefonic stabilește funcționarea unui circuit de utilizare numai după ce lamelele cursorului au trecut succesiv pe toate ploturile precedente, punînd în funcțiune (scurt timp) dispozitivele respective. Selecția prin frecvență elimină acest neajuns asigurînd telecomanda mecanismelor în mod cu totul independent.

Sînt posibile patru metode de realizare a selecției prin frecvență.

- 1) Utilizarea mai multor canale diferite de radiofrecvență, modulate fiecare în amplitudine.
- 2) Utilizarea mai multor canale de radiofrecvență, modulate diferit în frecvență.
- 3) Utilizarea unui canal de radiofrecvență modulată în frecvență cu semnale audio diferite.
- 4) Utilizarea unui canal de radiofrecvență cu mai multe frecvențe de modulație în amplitudine.

Prima metodă este foarte rar folosită, întrucît necesită mai multe ansambluri de emițătoare, fiecare dotat cu antenă separată. Pentru fiecare canal este necesar și cite un receptor. Se observă că este o metodă costisitoare, aparatul este voluminos, incomod, iar verificarea și reglajul sînt anevoioase.

O stabilitate bună a emițătorului se obține întotdeauna folosind un oscilator cu cristal de cuarț. Aceasta nu se poate realiza ușor prin metoda 1), întrucît practic este greu să se procure cristale diferite și apropiate între ele, fiind scumpe. Aceleași inconveniente le prezintă și metoda 2).

Modulația în frecvență pe același canal radio (metoda 3) are avantajul că folosește un singur emițător, deci numai o antenă. Receptorul este simplificat mult, atît ca număr de

piese cit și ca execuție practică. Acordul este ușor, randamentul întregii instalații în curent continuu fiind ridicat.

O metodă mult mai simplă, care necesită o execuție practică mai ușoară, este metoda 4), care folosește un singur canal radio, modulată în amplitudine cu mai multe frecvențe

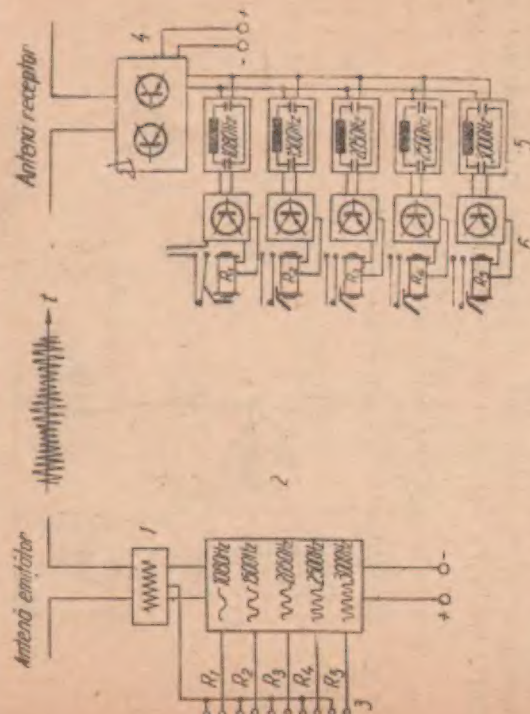


Fig. 11.3. Schema-bloc pentru telecomandă pe cinci canale:

1 — emițător; 2 — modulator; 3 — butoane comandă; 4 — receptor; 5 — filtre LC; 6 — amplificatoare finale pentru releu.

joase (ex. 8). În fig. 11.3 este prezentată schema-bloc a unei instalații de acest gen. Se observă că cele 5 comenzi diferite se repartizează cu ajutorul filtrelor de joasă frecvență, acordate separat și montate după etajele de joasă frecvență ale receptorului.

Fiecare filtru lasă să treacă frecvența pe care a fost acordat și după o amplificare suficientă semnalul acționează un releu sensibil.

Schema din fig. 11.4 reprezintă un alt exemplu de etaj final al receptorului, echipat cu filtru de joasă frecvență, pentru două comenzi.

Rezistența reglabilă R_1 sau R_2 și filtrul LC_2 asigură funcționarea corectă a tranzistorului T_1 pe o frecvență de modulație (filtrul, fiind acordat pe o singură frecvență, lasă să treacă curentul la baza tranzistorului T_1 ; în acest fel, montajul are proprietatea de selectare în frecvență).

Folosind mai multe montaje de acest gen, conectate în paralel, se poate obține selectarea mai multor comenzi.

Dacă se reușește să se simplifice și mai mult receptorul evitând filtrele, se va obține un montaj ieftin și de volum redus. Schema-bloc a unui asemenea montaj, utilizând un

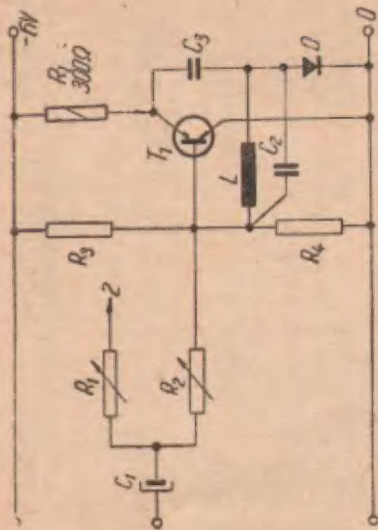


Fig. 11.4. Schemă pentru selectarea a două comenzi.

releu cu lame vibrante, se prezintă în fig. 11.5. Se folosește tot modulația în amplitudine, semnalele de joasă frecvență fiind înlocuite în etajul emițător cu ajutorul butoanelor 3.

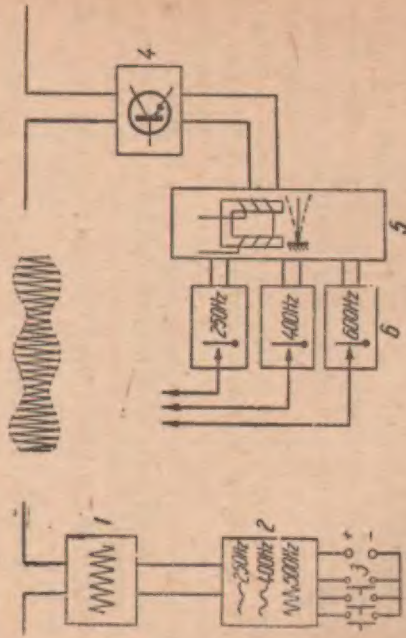


Fig. 11.5. Schemă pentru radiotelecomandă utilizând releu rezonant:

1 — radioemițător; 2 — modulator; 3 — bloc cu butoane de comandă; 4 — radioreceptor; 5 — releu rezonant; 6 — lame vibrante.

Cele 3 frecvențe cu care se vor analiza comenzile independente trebuie să fie la distanță cît mai mare între ele.

Fiecare semnal de joasă frecvență face să vibreze lama, care intră în rezonanță. Lama vibrantă stabilește un circuit electric de comandă. În fig. 11.6 se vede cum sînt puse în

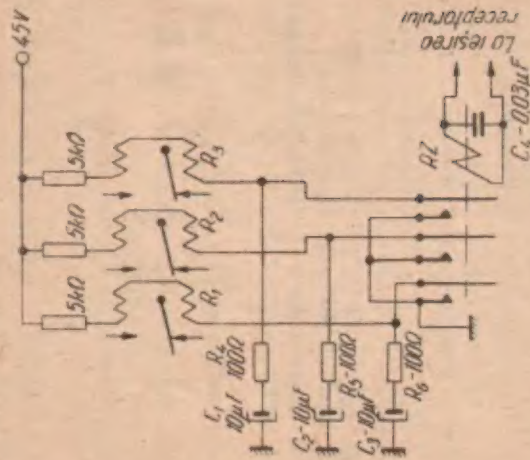


Fig. 11.6. Schema de integrare pentru circuitele lamelor vibrante.

funcțiune releele R_1 , R_2 sau R_3 prin intermediul lamei vibrante a releului selectiv. Capacitățile de $10 \mu F$, în serie cu rezistențele R_4 , R_5 sau R_6 , care șuntează contactul lamei, constituie un circuit de temporizare. În perioadele de timp cît lama vibrantă întrerupe circuitul releului de lucru, energia acumulată în condensator, menține atrasă armătura lui.

Pentru evitarea scintelilor la contact se preferă introducerea unor tranzistoare suplimentare, astfel încît lama vibrantă să închidă circuitul de comandă al acestora. În felul acesta se evită scintelile ce provoacă arderea contactelor de pe lamele vibrante.

Evident, selectarea comenzilor cu ajutorul filtrelor electronice sau al releelor rezonante constituie un subiect mai vast care, din punct de vedere industrial, stă în atenția personalului de specialitate.

Filtrul LC și rezonatorul cu corzi sau lame vibrante au fost folosite o dată cu apariția instalațiilor pentru telecomenzi și se folosesc și în momentul de față. Totuși, astăzi se bucură de o atenție mai mare blocurile combinate din elementele feromagnetice și semiconductoare.

Mult utilizat este un tip de filtru LC cu două circuite. În fig. 11.7 sunt prezentate schemele a patru variante de acest

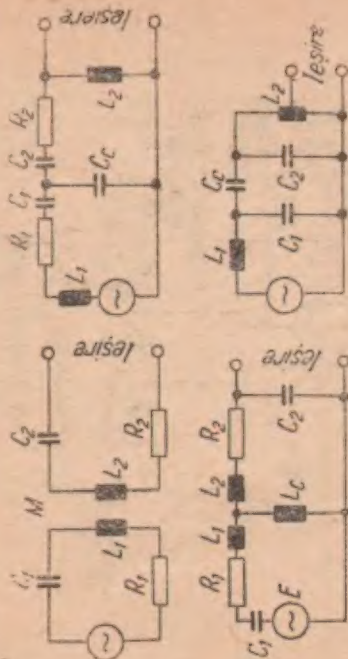


Fig. 11.7. Scheme de filtre cu două circuite.

gen. Ele sînt un compromis între un circuit simplu LC și filtre complicate cu mai multe inductanțe și capacități. Aceste scheme permit mărirea numărului de relee de frecvență într-o gamă dată. Reglarea și calculul lor sînt destul de simple. Fie K coeficientul de cuplaj dintre cele două filtre, M coeficientul de inducție mutuală, C capacitatea și L inductanța. Particularitățile în calculul celor patru modele din fig. 11.7 se observă în valorile lui K , în ipoteza că: $C_1 = C_2 = C$; $L_1 = L_2 = L$; $C_c \gg C$ și $L \gg L_c$; $K_a = \frac{M}{L}$; $K_b \approx \frac{C}{C_c}$; $K_c \approx \frac{L_c}{L}$ și $K_d = \frac{C_c}{C}$.

Dacă $Q = \frac{\omega L_1}{r_1}$ și $Q_2 = \frac{\omega L_2}{r_2}$ sînt factorii de calitate ai primului și celui de-al doilea circuit, puterea maximă se transmite în cel de-al doilea, cînd:

$$K = \frac{1}{\sqrt{Q_1 Q_2}}. \quad (1)$$

Pentru calculul unui asemenea filtru se folosesc metodele indicate în literatura de specialitate, însă se va ține seama că

în cazul de față o selectivitate bună pentru dezacorduri mari se obține prin micșorarea coeficientului de cuplaj. În sfîrșit, se recomandă condiția $QK < 1$.

La un filtru cu două circuite se obține o selectivitate bună chiar dacă distanța dintre două frecvențe vecine este de 3 ori mai mare ca în cazul filtrelor simple.

Dacă la filtrul cu un circuit atenuarea circuitului rezonant crește proporțional cu mărirea dezacordului frecvenței, la filtrul cu două circuite atenuarea crește aproximativ proporțional cu pătratul dezacordului.

Inductanțele folosite au factorul de calitate mare ($Q = \frac{\omega L_c}{r_c}$). Ele se realizează pe miezuri de alsiifer sau oxifer.

Acestea au dimensiuni mai mici și se bobinează mai ușor. Se obișnuiește ca înaintea releului sensibil (polarizat) să se intercaleze un amplificator cu tranzistoare.

Obținerea unei siguranțe mari în instalațiile industriale pentru telecomenzi a impus adoptarea sistemelor cu cod cu două frecvențe. Numai transmiterea simultană a ambelor frecvențe asigură funcționarea releului.

În fig. 11.8 se prezintă schema selectorului cu cod cu două frecvențe. Secundarul transformatorului are două circuite acordate pe frecvența f_1 , respectiv f_2 .

Oscilațiile de frecvență f_1 încarcă condensatorul C prin dioda D_1 , astfel încît energia acumulată de el este suficientă pentru declanșarea releului R_1 . Intrucît rezistența emitor-colector este destul de mare, releul în repaus nu este acționat.

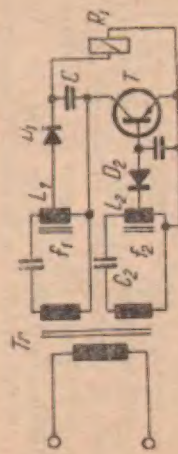


Fig. 11.8. Schema de principiu a selectorului cu cod cu două frecvențe fără surse de alimentare locală.

Dacă se aplică și tensiunea de frecvență f_2 între bază și emitor prin dioda D_2 , tranzistorul este deblocat și releul acționează (montajul lucrează fără alimentare în c.c.). Deci, releul acționează numai dacă sînt îndeplinite ambele condiții amintite.

PARTICULARITĂȚILE RADIOEMIȚĂTOARELOR PEN-
TRU TELECOMANDA MODELELOR

1. Scheme de principiu ale radioemitiătoarelor

În capitolele precedente au fost prezentate particularitățile montajelor emițătoarelor și receptoarelor pentru telecomandă. S-a văzut că deosebirea esențială dintre acelea și cele de telecomunicație constă în procedeul de acționare a releei final de lucru (selectoare mecanice sau filtre acordate). Emițătorul este modulat în joasă frecvență, cu mai multe semnale aplicate, succesiv, prin intermediul unui comutator, butoane, chei telefonice etc.

De fapt, emițătorul pentru telecomanda modelelor nu se deosebește ca principiu de cele utilizate în telecomunicații. Aceste emițătoare sînt simplificate (este necesară o putere mult mai mică) cuprinzînd, de obicei, două etaje, unul oscila-
tor și celălalt final.

Prin urmare, orice emițător modulat cu semnalul util telecomenzilor ar putea folosi pentru telecomanda modelului.

Ca și în schemele cu tuburi, oscilatoarele cu tranzistoare, pentru emițătoarele de acest gen, pot fi de diferite tipuri, care se găsesc descrise pe larg în literatură (oscilator LC tip Schnell, Hartley, Reinartz, Colpitts, Clapp, ECO, tranzitron, oscilatoare pilotate cu cristal de cuarț etc.).

În fig. III. 1 și III. 2 se prezintă două exemplare de emițătoare nestabilizate cu cristal de cuarț. Cel din fig. III. 1 este format dintr-un singur etaj care are și rolul de oscilator Colpitts (trimerul de 5—25 pF asigură gradul de reacție), iar cel din fig. III. 2 este un emițător cu două etaje. Oscilatorul este modulat în amplitudine, iar regimul de funcționare este ales prin poziția cursorului reostatului R_2 de 4 k Ω .

Dioda, împreună cu microampermetrul, se folosesc pentru obținerea acordului optim. Schema lucrează pe 7 MHz, cu o putere în antenă de 15 mW. Modulatia se poate aplica pe baza sau pe colectorul tranzistorului final, prin intermediul unui transformator de audiofrecvență.

Dacă în fonie sau telegrafie nestabilitatea frecvenței nu deranjează prea mult, în telecomandă ea constituie o condiție esențială. Din acest motiv, se recomandă ase utiliza

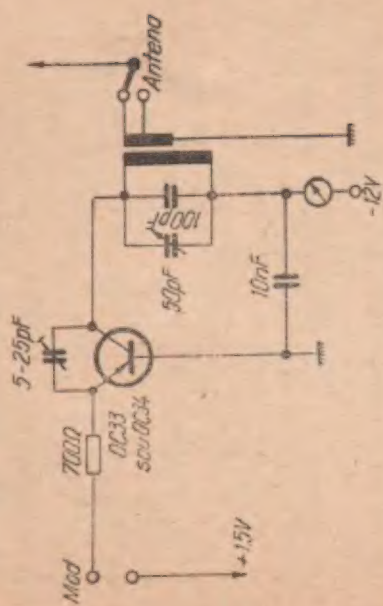


Fig. 111.1. Schema de principiu a unui emițător lucind ca simplu oscilator, neplătat cu cristal de cuarț.

În fig. III.3, *a*, reacția, care este selectivă, se obține prin aplicarea oscilațiilor de pe colector pe emițător și trec numai oscilațiile care corespund cu frecvența de rezonanță serie a

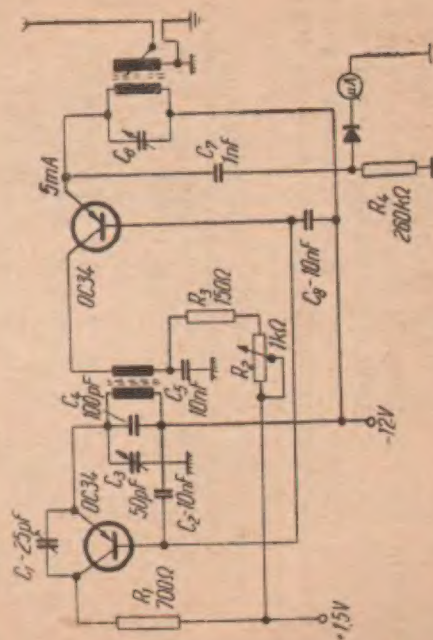


Fig. III. 2. Schema de principiu a unui emițător cu două etaje.

cristalului. În fig. III.3, *b* cuarțul ține loc de circuit oscilant LC. Prin inductanța L_c trece componenta continuă la baza tranzistorului. În același timp, bobina poate genera oscilații parazite. Acestea se evită prin montarea unei rezistențe

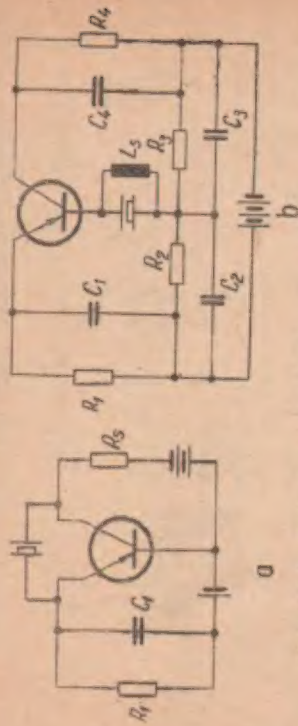


Fig. III.3. Oscilatoare stabilizate cu cristale de cuarț: a — cuarțul montat ca circuit rezonant serie; b — cuarțul montat ca circuit rezonant derivativ.

de 1 kΩ în serie cu L_c (nu este desenată pe figură). Astfel, factorul de calitate al circuitului parazit se va înrăutăți și oscilațiile vor fi stinse.

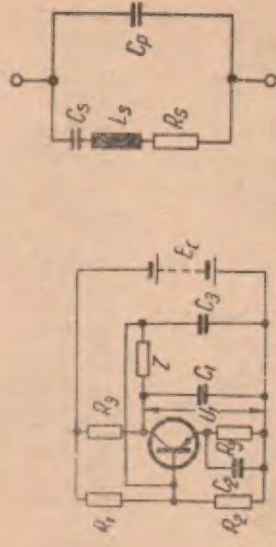
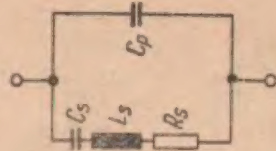


Fig. III.4. Schema de principiu a unui oscilator cu cuarț, care utilizează rezonanța derivativă a cuarțului.

În fig. III.4 se prezintă schema de principiu a unui oscilator cu cuarț care utilizează rezonanța derivativă a cristalului, iar în fig. III.5 — schema echivalentă a cuarțului. Se obține o stabilitate de frecvență cât mai bună dacă se alege valoarea maximă pentru:

$$C_p = \frac{C_1 C_3}{C_1 + C_3} \quad (2)$$

Fig. III.5. Schema echivalentă a unui cristal de cuarț.



Mărimea lui C_p nu trebuie să depășească însă pe cea impusă de condiția:

$$C_{p \max} \leq \frac{1}{2\omega} \sqrt{\frac{S}{R_c}} \quad (3)$$

în care $\omega = 2\pi f$; S este panta internă a tranzistorului, iar R_c — rezistența serie a cristalului.

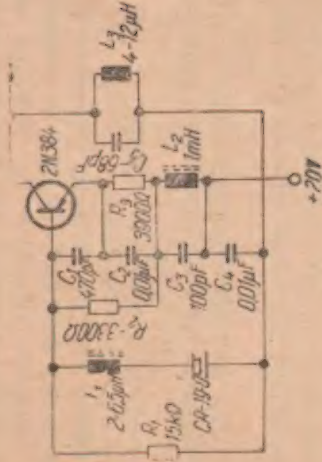


Fig. III.6. Schema de principiu a unui oscilator cu cuarț pe frecvența de 9 MHz.

Relația (3) este valabilă pentru cazul cind $\frac{C_1}{C_1 + C_3} = 0,5$.

În fig. III.6 s-a prezentat schema de principiu a unui oscilator cu cuarț, de tip Colpitts. Cuarțul funcționează pe frecvența de rezonanță serie și anume pe 9 MHz. Tranzistorul trebuie să aibă o frecvență de tăiere de aproximativ 10 ori mai mare ca cea de lucru.

Particularitatea schemei constă în faptul că sarcina este conectată în așa fel, încât se realizează o separare față de oscilator. Condiția este ca valoarea capacității colector-bază a tranzistorului să fie cit mai mică.

În fig. III.7 se observă că circuitul oscilant LC dă posibilitatea ca oscilatorul de tip Colpitts să fie acordat pe o armonică superioară a frecvenței de bază a cristalului.

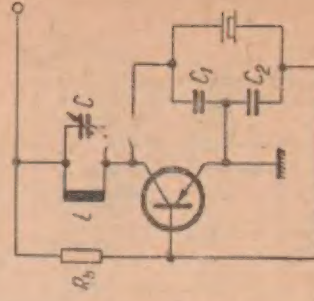


Fig. III.7. Schema de principiu a unui oscilator lucrând pe o armonică superioară frecvenței cristalului.

Față de avantajele amintite se preferă utilizarea schemelor cu cristale de cuarț.

Înainte de a trece la câteva exemplificări este necesar să se precizeze criteriile de alegere a frecvenței radio. Montajele pentru modele trebuie să fie de dimensiuni reduse, cu antene mici, care să nu incomodeze în transport și manipulare. Prin urmare, cunoscând că dimensiunea antenei crește cu mărirea frecvenței, se preferă o valoare a frecvenței radio cît mai ridicată, în domeniul undelor ultracurte. Antenele de emisie vor fi de gen telescopic, cu lungimea egală cu $\lambda/4$. La calculul lungimii se ține seamă de relația:

$$\lambda(m) = \frac{300\,000}{f(\text{kHz})}$$

Se va ține seamă că nu este voie să se utilizeze alte frecvențe decît cele rezervate radioamatorilor (3,5; 7; 14; 21; 28; 144 MHz etc.).

Dacă se alege o frecvență inferioară lui 28 MHz, rezultă dimensiunea antenei prea mare, iar dacă se preferă o frecvență superioară, se întîmpină greutăți în procurarea cristalelor de cuarț (de fapt cristalele, prin construcție, n-au prioritatea de a oscila pe frecvențe mai mari de aproximativ 40 MHz). De altfel și procurarea tranzistoarelor pentru lucrul la asemenea frecvențe constituie, de multe ori, o problemă (tipurile de tranzistoare indicate în scheme pot fi înlocuite cu alte tipuri, dacă se respectă caracteristicile de funcționare: frecvența de lucru, curenții de colector, tensiunea de polarizare a bazei etc.). Iată de ce valoarea de 28 MHz este preferată

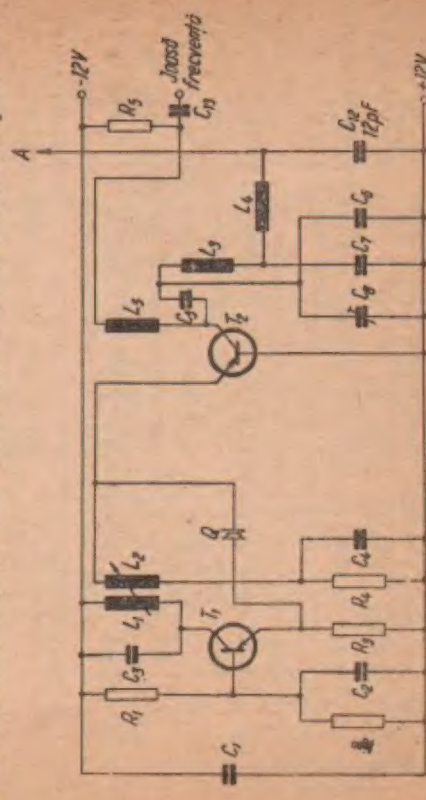


Fig. III.8. Schema de principiu a emițătorului pentru 27,12 MHz.

pentru telecomanda modelelor. Schema unui asemenea emițător este prezentată în fig. III.8.

Tranzistorul T_1 constituie un oscilator pilotat cu cristal de cuarț (Q). Oscilațiile debitate pe circuitul acordat C_3L_3 sint transmise pe baza tranzistorului T_2 prin bobina acordată L_2 printr-o bobină de șoc de radiofrecvență L_3 .

Emițătorul debitează pe sarcina L_3C_3 energia care trece în antenă printr-un filtru (în Π) acordat (denumit și filtru Colins).

Cea mai indicată metodă de acordare a antenei cu etajul emițător se realizează cu ajutorul filtrului Colins. În alte cazuri se utilizează cuplarea directă a antenei pe inductanța de sarcină prevăzută cu ploturi pentru acord. Emițătorul descris lucrează pe 27,12 MHz, are o putere de 10–20 mW și se utilizează la telecomenzile pentru navomodele.

În fig. III.9 este prezentat un emițător de putere mai mare.

Primul etaj oscilator, stabilizat cu cristal de cuarț de 27,12 MHz, debitează radiofrecvența pe emitoarele a două tranzistoare montate în contratimp.

Impedanța de sarcină o constituie bobina L_7 .

Semnalul ajunge pe antenă prin inductanța L_8 și bobina de adaptare L_9 . Antena este tot de tip telescopic, cu lungimea de 2,62 m. Modulația, care poate fi 100%, se aplică pe bazele tranzistoarelor finale T_{15} și T_{16} .

Puterea în antenă este de minimum 30 mW și poate asigura telecomanda unui aeromodel. Se adaptează ușor la o schemă cu 3, 5 sau 9 frecvențe de modulație.

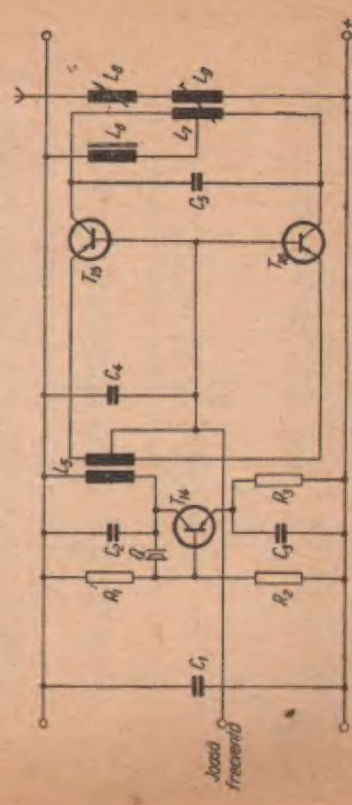


Fig. III.9. Schema de principiu a unui emițător avînd etajul final în contra-timp.

2. Modulația radioemitoarelor pentru telecomanda modelelor

După cum s-a amintit, se preferă, în majoritatea cazurilor, modulația în amplitudine. Se realizează astfel un număr ridicat de telecomenzi, pe o bandă de frecvență radio foarte îngustă.

Ca sursă de modulație se pot folosi generatoare sinusoidale de audiofrecvență, multivibratoare, generatoare de impulsuri în diferite forme etc.

Pentru telecomanda modelelor sunt satisfăcătoare generatoarele de radiofrecvență de tip LC sau RC , precum și multivibratoarele. După cum se știe, aceste generatoare au o construcție simplă, clasică, destinate pentru a realiza o modulație a emițătorului de 100%.

Pe același canal radio se obțin mai multe comenzi dacă se introduc în emițător, succesiv, (cu ajutorul unui comutator, buton, cheie etc.) frecvențele joase de la mai multe oscilatoare montate în aceeași cutie. Numărul comenzilor obținute prin acest procedeu este de ordinul zecilor.

În fig. III.10 se prezintă schema unui generator de modulație pentru emițătoare destinate acționării modelelor.



Fig. III.10. Schemă pentru modularea emițătorului cu trei semnale

Butoanele S_1 , S_2 , S_3 conectează, pe rând, pe colectorul tranzistorului T_1 , capacitățile C_1 , C_2 sau C_3 . Valoarea lor determină frecvența de modulație.

Schema prezintă posibilitatea de a obține mărirea semnalului corespunzătoare pentru modulația de 100%.

După cum se observă, oscilațiile, produse de tranzistoarele T_1 , T_2 , sînt culese de tranzistorul T_3 de pe sarcina conectată pe emițătorul lui T_2 . De pe rezistența R_4 (sarcina lui T_3) semnalul este cules și trimis în etajul emițător.

Procedul de obținere a mai multor semnale de modulație de la același generator nu este complicat și, după cum se va vedea în capitolele de prezentare a schemelor realizate, se pot obține 6 sau 9 comenzi folosind una sau mai multe grupe de oscilatoare ca cele descrise, cu condiția ca fiecare semnal să fie generat pe rînd.

Cum se procedează la realizarea unei acționări cu variație continuă, de exemplu reglarea vitezei motorului electric? Se utilizează un multivibrator a cărui proprietate în regaj satisfăce condiția cerută. Se consideră schema din fig. III.11, care conține un receptor R și un releu R_1 montat la ieșirea din etajul final. Contactele sale dau posibilitatea cuplării, pe rînd, a motorului la cele două surse de alimentare.

După cum se observă, dacă releul este atras, motorul se rotește numai într-un sens, iar dacă este decuplat — în sens opus.

Receptorul primește semnale sub formă de impulsuri dreptunghiulare, cu frecvența de 20—50 Hz (fig. III.12), provenite de la un multivibrator care modulează emițătorul.

Releul este acționat în ritmul impulsurilor. Dacă durata



Fig. III.11. Schemă pentru variația continuă a vitezei motorului.



Fig. III.12. Impulsuri de durată diferită, obținute de la un multivibrator cu regaj continuu

impulsului este egală cu durata pauzei, motorul va sta pe loc.

Dacă durata impulsului este mai mare decît a pauzei, motorul se va roti în sensul corespunzător.

Dispozitivul se aplică la acționarea direcției de zbor a unui aeromodel etc.

Schema de principiu a unui multivibrator, lucrând cu o frecvență de repetiție de 30 Hz, cu impulsuri dreptunghiulare, este prezentată în fig. III.13.

Când condensatorul C_1 se încarcă, tranzistorul T_1 conduce. În semiperioada a doua, tranzistorul T_1 este blocat și

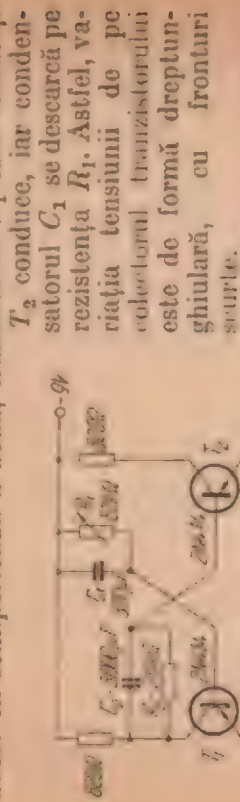


Fig. III.13. Schema de principiu a unui multivibrator.

multivibrator folosit în emițătoare pentru telecomanda modelelor. Se consideră ca exemplu un multivibrator cu cuplaj RC colector-bază și rezistență în emitor (fig. III.14).

De obicei, cuplajul colector-bază la multivibrator determină ca tranzistoarele să lucreze în stare de saturație.

De asemenea se va mări timpul de basculare a multivibratorului datorită și cuplajului prin condensator între cele două tranzistoare.

Schema prezentată înlătură cele două dezavantaje amintite. Primul dezavantaj este înlăturat datorită conectării rezistenței R_B la borna pozitivă a sursei, iar al doilea este micșorat prin introducerea grupului RC de cuplaj între tranzistoare.

Grupul $R_C C_C$ din circuitul emitor înlătură în mare parte, influența saturației asupra procesului de basculare. Forma unde este îmbunătățită prin introducerea grupului $R_E C_E$.

Tensiunea sursei de alimentare se alege astfel, încât să fie satisfăcută relația $U_C =$



Fig. III.14. Schema multivibratorului cu cuplaj RC colector-bază și rezistență în emitor

$2U_{CE} = U_{CE_{max}}$, în care U_{CE} este amplitudinea impulsului (de obicei, în jur de 10 V), iar $U_{CE_{max}}$ este tensiunea maximă la bornele rezistenței de emitor, având cel mult 2—3 V).

În orice caz tensiunea maximă admisibilă a tranzistorului trebuie să fie mai mică decât U_{CE} calculat.

În fig. III.15 punctul P determină regimul de lucru al multivibratorului. Pentru fixarea regimului de lucru și alegerea valorilor pieselor se procedează mai departe în felul următor: se află de pe diagramă curentul I_C , care nu trebuie să depășească valoarea admisă. Rezistența R_E se alege practică între 0,3 și 0,5 kΩ. Rezistența R_C este dată de relația:

$$R_C = \frac{E_C - E_E}{I_C} \quad (4)$$

Valoarea lui R_B se ia între 10 și 30 kΩ, iar rezistența R este dată de expresia:

$$R = \frac{R_C R_d}{R_C + R_B} \quad (5)$$

Rezistența R trebuie să aibă o valoare între 50 și 70 kΩ. Condensatorul C are o valoare cuprinsă între 1 000 și 2 000 pF.

Frecvența aleasă s-a notat cu f . Semnificația celorlalți termeni se vede în schemă.

Valoarea capacității condensatorului C_E trebuie să satisfacă inegalitatea:

$$C_E \geq \frac{1}{f_a R_E} \quad (7)$$

în care f_a este frecvența de tăiere a tranzistorului.

În mod obișnuit capacitatea C_E este cuprinsă între 300 și 1 000 pF.



Fig. III.15. Alegerea regimului de lucru al multivibratorului.

2. PARTICULARITĂȚILE RADIORECEPTOARELOR PENTRU TELECOMANDA MODELULOR

1. Scheme de principiu ale radioreceptoarelor

Deoarece literatura de radiotehnică este, la ora actuală, bogată în scheme de radioreceptoare tranzistorizate, în cele ce urmează vor fi prezentate numai particularitățile schemelor care interesează.

Mai importantă este partea de radiofrecvență unde, datorită tipurilor moderne de tranzistoare, a fost posibilă folosirea acestora și în montajele de telecomandă lucrând pe unde scurte sau ultrascurte.

Dintre tipurile de radioreceptoare cunoscute (simple, fără amplificare, cu amplificare directă cu reacție, superreacție, sau de tip superheterodină) receptorul cu superreacție s-a dovedit a fi cel mai corespunzător pentru telecomanda modelelor. Bineînțeles, o superheterodină ar fi ideală, însă prețul ei se ridică mult în comparație cu cel al receptorului cu superreacție. Totuși, dacă radioamatorul are un receptor superheterodină lucrând pe frecvența de 28 MHz, echipat cu tranzistoare, și este dispus să-l folosească pentru telecomanda modelului, atunci fără a demonta partea de radiofrecvență, va adopta la el sistemul de joasă frecvență cu dispozitivul de selectare. De obicei, se preferă o schemă ce poate fi construită la un volum cit mai redus și greutate mică. Sensibilitatea ce se obține de la o superheterodină obișnuită, este, de multe ori, mai mică decât la o schemă superreacție.

Schemele de superreacție realizate posedă o sensibilitate la intrare de aproximativ $5 \mu V$ (mult mai bună ca la unele receptoare din comerț), oscilațiile de superreacție fiind de aproximativ 40—100 kHz.

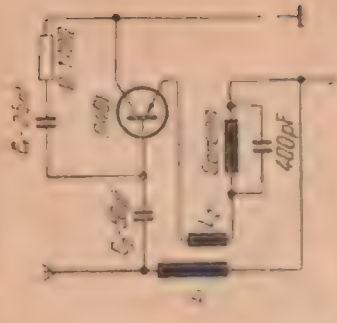
Schema de bază a unui receptor superreacție, destinat telecomenzilor, este prezentată în fig. IV.1. Este o variantă cit se poate de simplă, dar cu sensibilitate înaltă, după cum s-a amintit.

Cuplajul dintre bobinele L_1 și L_2 este foarte strins. Baza tranzistorului nu este polarizată inițial. Ca atare, și oscilațiile ce apar sînt de amplitudine mică. Ele sînt redresate de

juncțiunea emitor-bază. Ca urmare a acestei redresări ia naștere o componentă de curent continuu care înarcă condensatorul C_1 în așa fel, încît la un moment dat apare o tensiune pozitivă pe bază și blochează tranzistorul.

Oscilațiile sînt întrerupte, iar condensatorul C_1 se descarcă pe R și rezistența inversă emitor-bază. După descărcarea lui C_1 reapar oscilațiile. Frecvența de repetare a fenomenului descris este superaudibilă și se numește frecvență de superreacție. Se pot obține asemenea oscilații cu amplitudine mare, fapt ce determină o amplificare, deci o sensibilitate a montajului cu totul deosebită.

Fig. IV.1. Schema de principiu a unui receptor superreacție.



antena. Impedanța de sarcină este șuntată de capacitatea de 400 pF, care constituie un obstacol numai pentru joasă frecvență. Stabilitatea montajului este destul de bună. El are și proprietatea de autolimitare, făcând ca puterile pe sarcină să fie aproximativ egale pentru diferite mărimi ale semnalelor de intrare (proprietatea este similară cu cea a circuitului de reglaj automat al amplificării din superheterodină). Trebuie amintit că valorile capacităților condensatoarelor C_1 și C_2 determină gradul de reacție și, prin urmare, amplificarea montajului. Reglarea lor va compensa scăderea de amplificare proprie tranzistoarelor la frecvențe înalte.

În fig. IV.2 este prezentată o schemă superreacție pentru a lucra în unde ultrascurte. Spre deosebire de schema anterioară, frecvența de superreacție este produsă de al doilea etaj echipat cu tranzistorul T_2 .

Reacția se obține prin înfășurările transformatorului Tr_1 iar regimul de lucru se fixează cu rezistența R_1 .

Primul etaj este un oscilator Colpitts care folosește capacitățile parazite ale tranzistorului.

Tranzistorul T_1 este alimentat în ritmul frecvenței de superreacție din secundarul transformatorului Tr_1 .

Tensiunea de pe secundarul acestuia poate fi de zece ori mai mare decât tensiunea bateriei de alimentare, constituind un mare avantaj.

Dacă se conectează în locul sarcinii o cască de aproximativ $2-4\text{ k}\Omega$ se obține audia normală prin reglarea rezistenței R_1 . Se folosește un potențiometrul de $3-5\text{ k}\Omega$, care se ajustează până când dispare fișitul caracteristic aparatelor superreactie, în schimbul audiei de calitate.

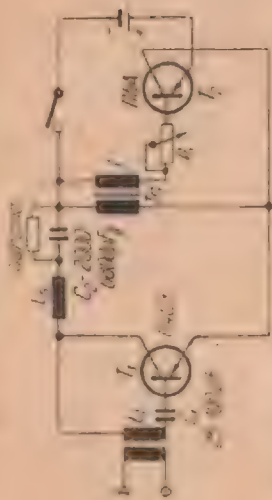


Fig. IV.2. Schema de principiu a unui receptor superreactie cu două tranzistoare.

Pentru frecvența de 28 MHz , bobina de acord L_1 are 8 spire din conductor neizolat de diametru 1 mm , cu diametrul spirei de 10 mm . Bobina de șoc L_2 are 60 spire. Transformatorul T_1 are primarul de 50 spire și secundarul de 100 spire, cu conductor de $0,1-0,15\text{ mm}$, pe miez de permalloy de 10 mm^2 .

Tot o schemă pentru lucrul în banda $28-29\text{ MHz}$ este și cea din fig. IV.3.

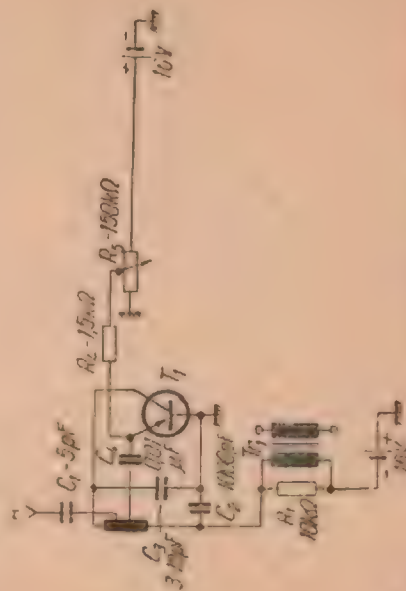


Fig. IV.3. Schema de principiu a unui receptor superreactie lucrand în banda $28-29\text{ MHz}$.

Tranzistorul este de tip II403, montat în circuitul oscilant L_1C_2 (tip Hartley). Alimentarea este realizată cu două baterii separate.

Transformatorul T_1 trece semnalul de audiofrecvență pe baza primului tranzistor amplificator în joasă frecvență.

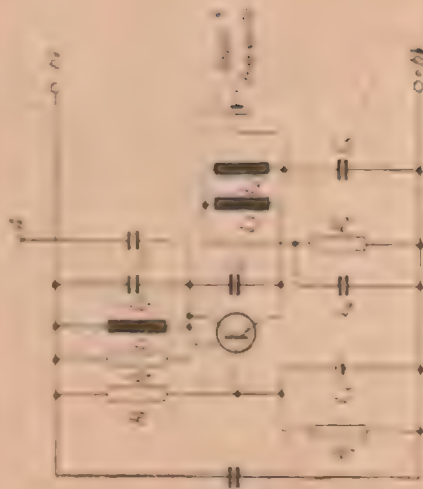


Fig. IV.4. Schema de principiu a unui receptor superreactie destinat telecomenzilor modulator-pela radio

Pentru amplificarea semnalului util sînt folosite mai multe etaje care nu sînt prevăzute în schemă.

O ultimă schemă de receptor superreactie pentru telecomanda modelelor este prezentată în fig. IV.4.

Circuitul oscilant L_1C_2 primește semnalul din antenă, iar L_3C_4 obligă tranzistorul să oscileze pe frecvența de superreactie (în cazul de față de 80 kHz).

Frecvența radio de lucru este de 27 MHz . Datele construcției vor fi prezentate în capitolele care tratează construcția radioreceptoarelor.

2. Etajele de joasă frecvență și dispozitivele de selectare din radioreceptoare

În telecomanda modelelor se preferă folosirea releului cu lame vibrante. Este foarte avantajoasă o asemenea schemă, deoarece întreg receptorul nu cântărește decât $30-50\text{ g}$.

Un releu de rezonanță cu miez de permalloy, pentru 8—9 comenzi distincte, are în mod obișnuit dimensiunea de aproximativ $30 \times 20 \times 15$ mm.

Dacă cuplajul între etajele de joasă frecvență se realizează prin capacități și rezistențe, greutatea întregului ansamblu va fi altă de mică, înct va satisface pe deplin folosirea lui la aeromodele. Etajele de joasă frecvență, care în mod obișnuit sînt în număr de 3, se realizează după scheme foarte asemănătoare cu ale celor din radioreceptoarele obișnuite. Exemple nenumărate se găsesc în literatura de radiotehnică (în special în colecția „Radio și televiziune“).

Ținând seamă de particularitățile cerute în telecomanda prin radio au fost executate diferite variante de etaje de joasă frecvență, dintre care vor fi tratate câteva în capitolul ce urmează.

Un alt procedeu de obținere a selecției comenzilor ce se preferă de obicei este cel dotat cu filtre audio tip *LC* și mai rar cu filtre *RC*.

În general, frecvențele de modulație sint cuprinse între 50 și 1 500 Hz.

De reținut în concluzie, că cele două sisteme amintite, pentru selectarea comenzilor, sînt preferate și recomandate în construcția modelelor telecomandate.

CAPITOLUL V

**SCHEME PRACTICE DE RADIOEMIȚĂTOARE
PENTRU TELECOMANDA MODELELOR**

Se prezintă pentru început un montaj simplu, tranzistorizat, monocanal (fig. V.1). Tranzistorul AF 115 este montat ca oscilator pilotat cu un cristal de cuarț, pe 27,12 MHz.

Cuarțul este conectat între emitorul celui de-al doilea tranzistor AFZ 10 și emitorul tranzistorului din etajul oscilator. Cel de-al doilea etaj (care este și final) trimite semnalul, prin condensatorul C_5 și bobina L_3 , la un filtru Colins, compus din inductanța L_4 și condensatoarele C_7, C_8 .

Prin bobina de șoc L_5 se aplică pe colectorul tranzistorului T_2 semnalul de modulație.

28

Bobina L_1 are 14 spire din conductor de cupru izolat cu mătase, cu diametrul de 0,6 mm. Căreasa este din trolit, cu diametrul de 7 mm și miez de ferocart.

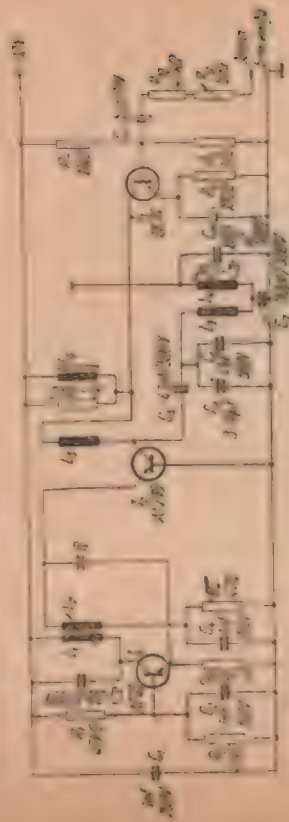


Fig. V1 Schema de principiu a unui emițător monocanal tranzistorizat

Bobina L_1 are 4 spire cu același conductor, pe carcasa lui L_2 .

Bobina L_3 are 13 spire Cu Em, 1 mm, bobinate in aer.
Diametrul bobinei este de 15 mm.

Inductanța L_4 are un număr de 3 spire din conductor cu diametrul bobinei este de 10 mm.

Bobina de soc L , are 50 spire din conductor CuEm, 0,1 mm, diametrul de 0,6 mm, bobinate pe o placă de carton, înălțimea bobinei este de 10 mm.

Modulatorul, a cărui schemă este prezentată separat în fig. V.2, este un oscilator de audio-frecvență.

Transformatorul de
modulație 7r folosește
un miez din tole silicioase
cu secțiunea de 1 cm^2 .
Primarul are 3 000 spire,
din conductor Cu Em,
0,4 mm, iar secundarul,
200 spire, cu conductor
de 0,3 mm.

Semnalul de modulație se obține prin cuplarea întrerup-
torului I și frecvența audio se reglează cu potențiometrul
 P_1 . Semnalul rezultă la bornele potențiometrului P_1 trace

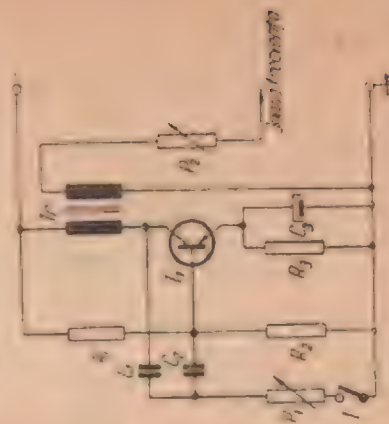


Fig. V.2. Schema de principiu a modulatorului emițătorului monocanal.

în etajul final de modulație pe baza tranzistorului OC74 din schema emițătorului.

Acordul emițătorului și cuplarea optimă cu antena vor fi tratate la capitolul 8.

Radioemițătorul cu schema din fig. V.3 lucrează tot pe 27,12 MHz și este pîndat cu cristal de cuarț. Avînd numai un tranzistor în etajul final de ieșire, puterea lui absorbită de la sursa de alimentare nu va depăși 80 mW. Prin urmare, nici raza de acțiune nu este prea mare (0,5—1 km).

Cristalul este conectat între emitorul și colectorul tranzistorului П 402, al cărui regim de funcționare se obține prin reglarea valorii rezistenței R_2 de 2,5 k Ω .

Cu toate că s-au folosit tranzistoare cu frecvența de lucru pînă la 100 MHz, randamentul întregului montaj nu depășește 50%.

Antena de tip telescopic în $\lambda/4$ are lungimea de 2,62 m și impedanța de 40 Ω .

Modulația se aplică direct pe bobina de acord L_3 prin bobina de șoc de înaltă frecvență L_2 , de la etajul amplificator de audiofrecvență.

Inductanța L_1 are 15 spire; L_2 are 3 spire, ambele fiind executate cu conductor de 0,5 mm, CuEm + M.

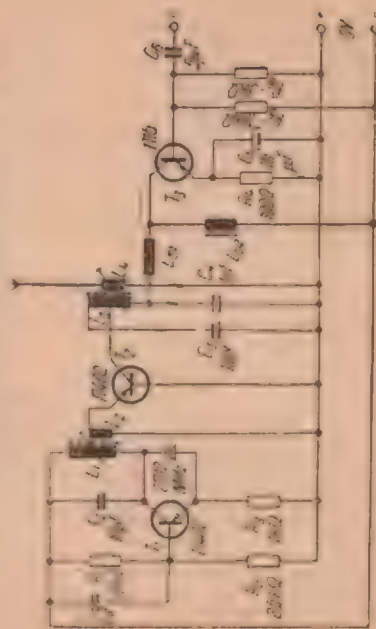


Fig. V.3. Schema de principiu a radioemițătorului pentru 27,12 MHz, cu un tranzistor în etajul final.

Inductanța L_3 are 16 spire din conductor CuEm 0,8 mm și este prevăzută cu priză mediană. Inductanța L_4 are 3 spire din același conductor ca și L_3 .

Bobinele sînt executate pe suport de trolit cu diametrul de 7 mm și sînt prevăzute cu miez magnetic.

Tranzistoarele T_1 și T_2 sînt de tip П 402, iar T_3 este tip OC 824. Tensiunea de alimentare este de 9 V.

În continuare se prezintă și cîteva variante ale oscilatoarelor de modulație. Astfel, în schema din fig. V. 4 cele două

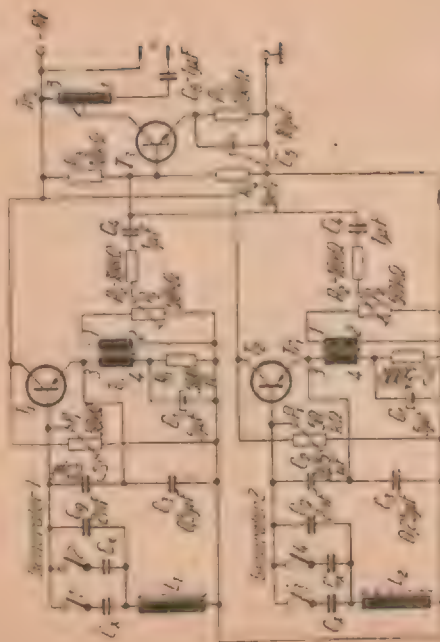


Fig. V.4. Generatoare sinusoidale pentru modulația în amplitudină și emițătorul

generatoare sinusoidale au stabilitate termică datorită rezistenței și capacității introduse în circuitul emitorului.

Sarcina o constituie transformatorul T_1 de pe emitor, iar regimul de funcționare se fixează cu potențiometrul P_1 de 50 k Ω , care poate fi înlocuit cu o rezistență fixă.

Valoarea capacității C_x s-a ales astfel, încît generatorul 1 funcționează între 750 Hz (pentru $C_x = 70$ nF) și 2 500 Hz (pentru $C_x = 5$ nF), iar generatorul 2 între 1 500 Hz și 4 000 Hz.

Etajul amplificator folosește un tranzistor T_3 cu factor de amplificare mai mare decît 80. Gradul de modulație se obține prin reglarea potențiometrului P_2 de 500 k Ω și în cazul a două semnale în același timp nu trebuie să depășească 45%, întrucît — pentru o valoare mai mare — selectorul receptorului va lucra defectuos.

Transformatorul T_1 are primarul format din 200 spire și secundarul din 600 spire, ambele cu conductor CuEm, 0,2 mm. Secțiunea miezului este de 0,25—0,5 cm².

Transformatorul T_2 , între conexiunile 1 și 2, are 4 000 spire de 0,06 mm și între 2 și 3 are 300 spire, din conductor de 0,12 mm, izolat cu email.

O altă variantă a schemei descrise este cea din fig. V.5. După cum se observă, nu există modificări esențiale. Cele



Fig. V.5. Schema de principiu a modulatorului pentru două canale

două frecvențe se obțin de această dată folosind inductanțe diferite, cuplate, succesiv, în circuitul colectorului.

Al doilea tranzistor, cu rol de amplificator de putere, primește polarizarea direct de pe emitorul oscilatorului. În felul acesta, prezintă o stabilitate mai mare a frecvenței.

Gradul de amplificare, deci și de modulație, se obține cu potențiometrul de 100 k Ω .

Semnalul de audiofrecvență este cules din punctul A al circuitului oscilatorului și adus pe baza tranzistorului T_2 prin intermediul potențiometrului de 100 k Ω .

Inductanța L , pentru 2 500 Hz, are 350 spire, pentru 1 000 Hz — 875 spire și pentru 700 Hz — 1 450 spire. Se

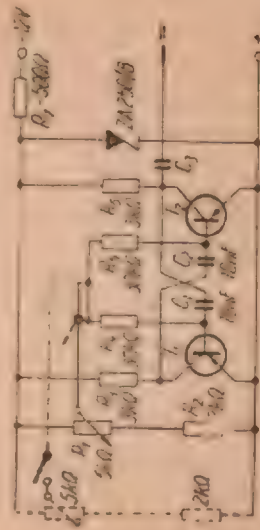


Fig. V.6. Schema de principiu a unui multivibrator pentru 800—2 000 Hz.

bobinează pe suport cilindric din material izolant cu diametrul de 7,5 mm și miez reglabil de ferocart. Conductorul are diametrul de 0,12 mm și este izolat cu email.

În fig. V.6 se prezintă schema unui multivibrator care, după cum s-a mai amintit, asigură reglajul uniform al frecvenței (în cazul de față între 800 și 2 000 Hz, corespunzător, de exemplu, pentru modificarea vitezei unui motor din schema receptorului).

Valoarea frecvenței este stabilită de mărimea rezistențelor R_4 , R_5 și capacităților C_1 , C_2 , iar amplitudinea semnalului de reglează cu potențiometrul R_1 de 5 k Ω . Forma impulsului este aproximativ dreptunghiulară.

În fig. V.7 se prezintă schema de principiu a unui emițător, cu posibilitatea de a transmite trei comenzi. Frecvența purtătoare este tot de 27,12 MHz, iar oscilatorul, pilotat cu cristal de cuarț.

Partea de înaltă frecvență este deosebită de a schemelor anterioare, prin felul cum se aplică modulația de pe colectorul lui T_3 (amplificator final de audiofrecvență).

Frecvența de modulație este cuprinsă între 2 și 12 kHz.

Prin mici completări se pot realiza 5 sau 9 comenzi.

Butoanele S_1 — S_6 dau posibilitatea alegerii uneia din cele trei frecvențe.

O schemă completă, în care se indică și valorile de execuție, destinată emiterii semnalelor pe trei canale, este prezentată în fig. V.8. Oscilatorul de radiofrecvență (27,12 MHz) este pilotat cu cristal de cuarț.

Fig. V.7. Schema de principiu a unui emițător lucrând pe trei canale, pentru telecomanda modelelor.

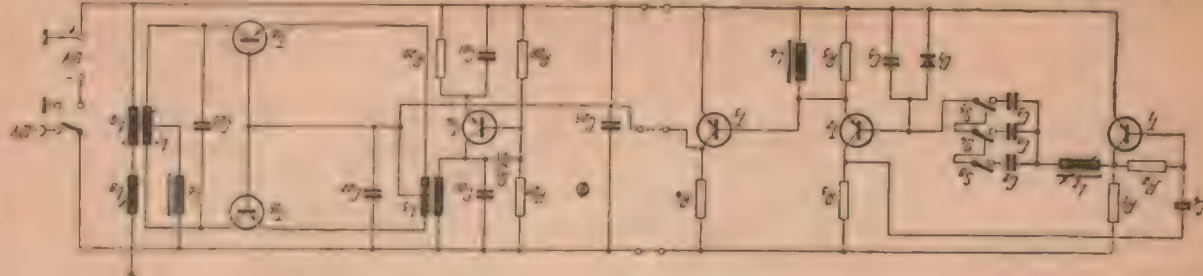
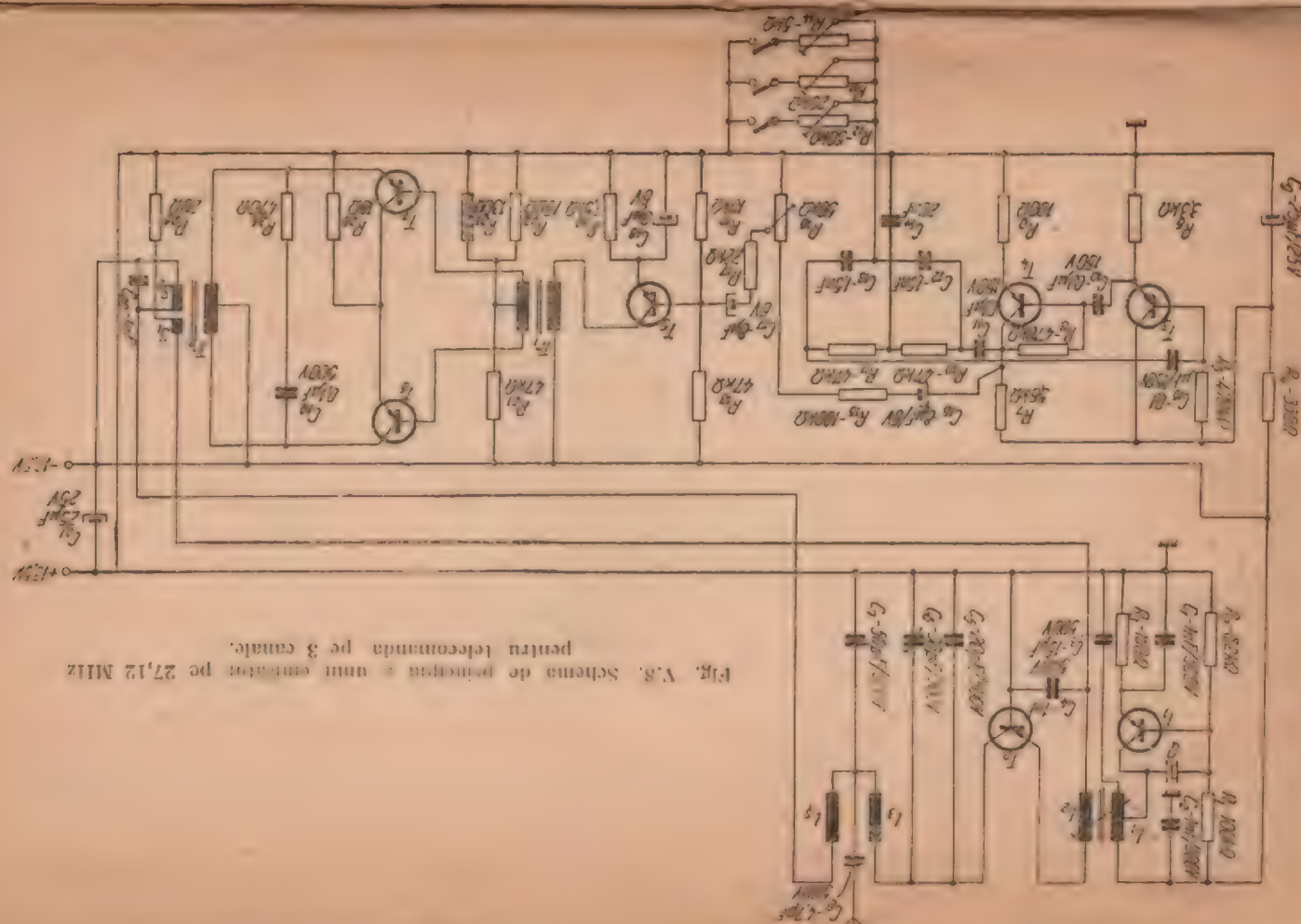


Fig. V.8. Schema de principiu a unui emițător pe 3 canale pentru telecomandă pe 27,12 MHz



Tranzistorul oscilatorului este de tip OC 614 sau AF 112. Etajul final al emițătorului cuprinde un tranzistor T_2 de tip AFZ 10 sau AF 112 L.

Antena (în $\lambda/4$) are lungimea de 2,62 m. Se poate folosi și o antenă telescopică. Ca generator de audiofrecvență se utilizează schema de tip dublu T, cu două tranzistoare (tip OC 604 sau OC 304).

Gradul de modulație se reglează cu potențiometrul R_{12} de 50 k Ω . Amplificatorul de audiofrecvență este echilibrat cu tranzistorul T_3 de tip OC 604 sau OC 308 și etajul final, în contratimp, cu tranzistoarele $2 \times$ OC 604 sau $2 \times$ OC 308.

Transformatorul final Tr_2 are secundarul compus din două înfășurări, astfel încât modulația va fi aplicată în emițător pe două căi.

Inductanța L_1 cuprinde 2×10 spire CuEm, 0,5 mm bobinate pe suport de trolit, cu diametrul de 7 mm și miez de ferocart.

Inductanța L_2 are 2 spire din liță de înaltă frecvență, iar L_3 , 14 spire din conductor CuEm, 0,8 mm, pe suport de trolit, cu diametrul de 9,5 mm, fără miez magnetic.

Inductanța de șoc pentru radiofrecvență este la fel ca cea din fig. V.4

Transformatorul de cuplaj Tr_1 are miezul de 0,25 cm². Primarul cuprinde 1 500—2 000 spire, bobinate din conductor de 0,05—0,07 mm, iar secundarul — 500 spire cu priză mediană. Conductorul folosit este același ca în primar.

Transformatorul de ieșire Tr_2 are secțiunea miezului de 0,5 cm². Bobina primară are 800 spire, cu priză mediană, conductorul fiind CuEm, 0,2 mm. Secundarul S_1 are 50 spire, iar S_2 — 420 spire, din conductor cu aceeași dimensiuni ca în primar.

Valorile frecvențelor de modulație depind de elementele C_{12} , C_{13} , C_{14} , R_{12} , R_{13} și sint indicate în tabela următoare.

$C_{12} - C_{13}$	C_{14}	$R_{12} + R_{13}$	f_0
5 nF	50 nF	5—50 k Ω	400—800 Hz
3,3 nF	30 nF	5—50 k Ω	620—1 100 Hz
1,5 nF	20 nF	5—50 k Ω	1 060—2 200 Hz
1 nF	10 nF	5—50 k Ω	1 700—3 300 Hz

Emitătorul acoperă o suprafață cu raza de aproximativ 500 m, ceea ce este multumitor pentru navomodele. Totuși, pentru aeromodele este necesar un emițător cu puteri mai mari în antenă.

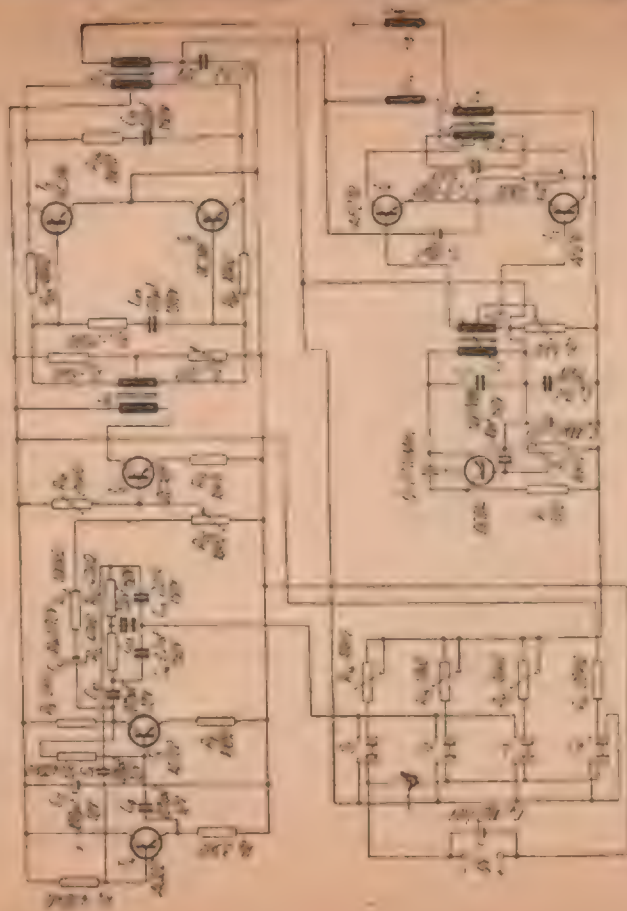


Fig. V.9. Schema de principiu a unui emițător cu patru canale pentru telecomanda modelelor.

Pentru acoperirea unui teren cu raza de 2—3 km se utilizează, de obicei, un emițător al cărui etaj final este în contratimp.

În fig. V.9 se prezintă schema unui emițător tranzistorizat lucrând pe patru canale.

Partea de radiofrecvență este asemănătoare schemelor descrise și folosește o antenă telescopică de 125 cm, acordată cu bobina variabilă L_5 .

Cu modulația cuplată, emițătorul are un consum în curent continuu de 180 mW, pentru o tensiune de alimentare de 9 V. În gol consumă 75 mW.

Schema generatorului de joasă frecvență este astfel concepută, încât asigură modulația recomandată de 100% (nu se va depăși acest procent).

Valoarea necesară a semnalului în joasă frecvență este obținută cu ajutorul etajului final, echipat cu două tranzistoare (T_7 , T_8 — OC 318), montate în contratimp.

Punctul de funcționare și puterea etajului final se stabilesc prin polarizarea bazei cu ajutorul rezistenței R_{21} .

Etajul inversor este realizat cu tranzistorul T_6 — OC 308, al cărui punct de funcționare se alege prin modificarea rezistenței R_{18} . Se va regla polarizarea bazei în așa fel, încât curentul de colector să fie de aproximativ 3 mA.

Semnalul final de modulație se aplică pe bobina L_4 a emițătorului prin bobina de șoc L_1 , de 2,5 mH (modulația aplicată la ieșirea semnalului de radiofrecvență s-a dovedit a fi cea mai convenabilă, întrucât nu stîngherește buna funcționare a tranzistoarelor în radiofrecvență). Generatorul de audiofrecvență este sinusoidal. Se observă că rezistențele R_{14} , R_{15} , R_{16} sînt destinate pentru reglarea frecvenței. Aceste rezistențe pot avea valori diferite, acționîndu-se în orice moment un singur buton, sau aceleași valori, obținîndu-se diferite frecvențe prin acționarea consecutivă a două sau trei butoane. Se pot obține trei valori în limitele 75—2 400 Hz. De exemplu, se obțin 2 400 Hz cînd butonul S_1 este cuplat, iar rezistența R_{14} are valoarea 2,5 k Ω .

A patra comandă se realizează prin cuplarea butonului S_4 , care pune în funcțiune numai partea de radiofrecvență.

Caracteristicile bobinelor circuitelor oscilante de înaltă frecvență sînt indicate în tabela ce urmează.

Bobina	Inductanța pH	Numărul de spire	Diametrul cercului mm	Prize
L_1	1,25	15	0,4(cupru-enail)	—
L_2	1,2	8	0,4(cupru-enail)	La spira 4
L_3	1,2	6	1 (cupru-enail)	La spira 2
L_4	1,2	6	1 (cupru-enail)	La spira 2
L_5	1,2	6	1 (cupru-enail)	—
L_6	1,14	9	0,4(cupru-enail)	—

Toate bobinele au același fel de carcasă, de trolit, cu diametrul de 7 mm și miez de ferocart.

Transformatorul inversor T_{r1} și cel de ieșire T_{r2} din schema modulatorului sînt identice cu cele din schema precedentă.

Acromodelele, de multe ori, necesită mai mult de patru comenzi și chiar cîte două în același timp. În schema din fig. V.9 partea de radiofrecvență poate fi considerată identică cu cea din fig. V.1.

Modulația de tip Heysing este aplicată pe colectorul tranzistorului final AF 115, prin bobina de șoc de înaltă frecvență L_5 .

Se folosesc, pentru modulație, două generatoare de joasă frecvență, cu trei frecvențe de lucru.

Modulatorul A (fig. V.10) este reglat din potențiometrele P_1, P_2, P_3 pe frecvențele 400, 600 și 900 Hz.

Bobina de șoc L , are 3 000 spire din CuEm, 0,1 mm, înfășurate pe miez de 1 cm².

Al doilea modulator (fig. V.11) furnizează frecvențele 1 080, 1 320 și 1 610 Hz.

Transformatorul are miezul de 1 cm². Bobina primară are 3 000 spire din conductor CuEm, 0,4 mm și cea secundară — 200 spire din conductor CuEm, 0,3 mm.



Fig. V.10. Schema de principiu a modulatorului A.

În închirierea capitolului se prezintă o variantă de emițătoare pentru 9 comenzi (fig. V.12). Emițătorul lucrează tot pe 27,42 MHz și are un cimp de acțiune cu raza pînă la 3—4

km. Asupra lui nu se revine, deoarece este asemănător cu cele precedente.

Cele 9 semnale de modulație nu se pot cupla decît succesiv.

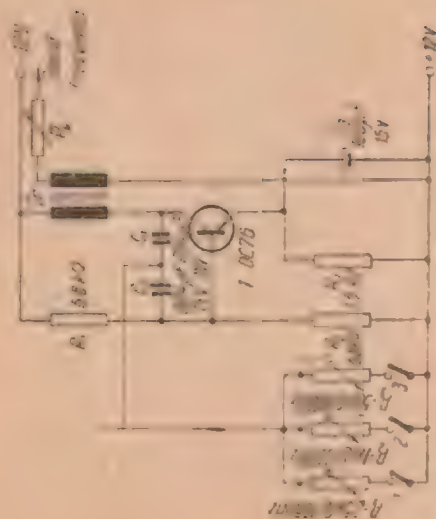


Fig. V.11. Schema de principiu a modulatorului B

Circuitele tranzistorilor T_{11} , T_{12} , T_{13} constituie un oscilator de impulsuri dreptunghiulare cu frecvența de 300 Hz. Aceste impulsuri au rolul de a comanda etajul tranzistorului T_{10} în ritmul de 300 Hz astfel: impulsul negativ de curent, ce se trimite de la generatorul de 300 Hz la baza tranzistorului T_3 (sau T_5 , T_8), îl obligă pe acesta să conducă. În timpul cit conduce, se pot transmite la tranzistorul T_{10} și semnalele de audiofrecvență din generatorul corespunzător (înregistrat cu tranzistorul T_1 sau T_4 , T_7 , prin acționarea unuia din butoanele S_1 — S_{12}).

Tranzistorul T_{10} amplifică semnalul de audiofrecvență provenit de la unul din cele trei generatoare amintite, modulat cu impulsurile de 300 Hz, după care îl trimite în etajul final de emisie.

După cum se observă, schema dă posibilitatea realizării unui număr mare de canale și se consideră că este indicată pentru executarea modelelor mai complexe.

SCHEME PRACTICE DE RADIORECEPTORE PENTRU TELECOMANDA MODELOR

Schema unui receptor tranzistorizat pentru telecomanda modelelor, echipat cu trei tranzistoare, este prezentată în fig. VI.1. Sensibilitatea acestui receptor este mai bună de 5 μ V, iar ca element de comandă acționează un singur releu cu rezistența înfășurării (în curent continuu) de 300 Ω .

Etajul de radiofrecvență este o superreacție. Oscilațiile de superreacție care iau naștere în circuitul emitorului tranzistorului T_1 trec pe colector prin condensatorul C_4 . Condensatorul C_5 întoarce pe bază o parte din oscilații, pentru întărirea lor.

Montajul este realizat pentru o frecvență de 27,12 MHz și are o stabilitate bună la temperatură (până la 60°C), ca urmare a folosirii termistorului Th de 47 k Ω în circuitul emitorului.

Transformatorul de joasă frecvență Tr , cu raport de transformare 1:5, asigură trecerea semnalului de audio-

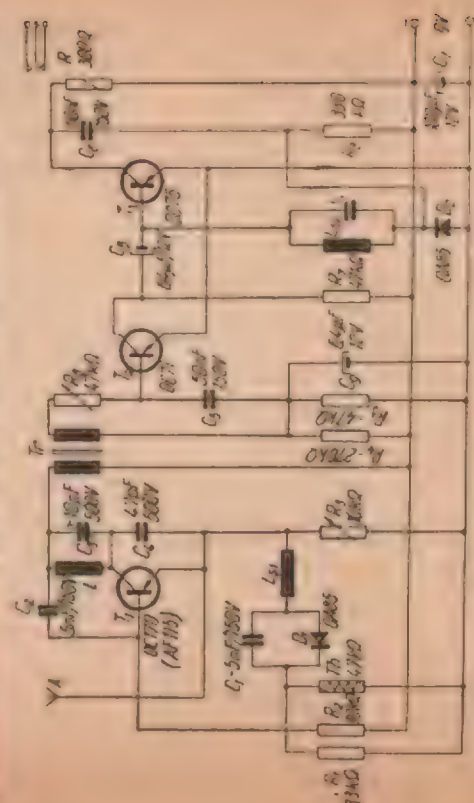
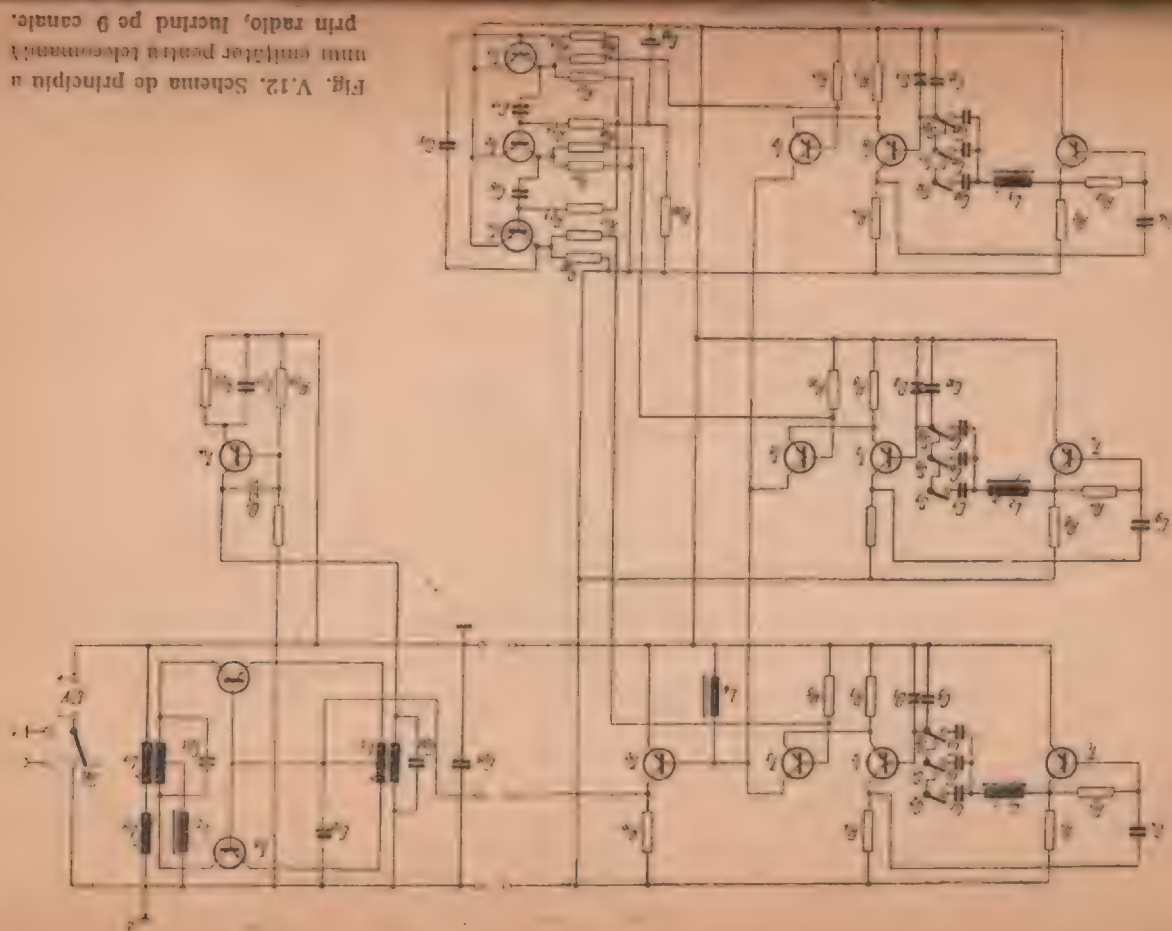


Fig. VI.1. Schema de principiu a unui receptor monocanal tranzistorizat

frecvență, pe baza primului etaj de joasă frecvență. Reglarea volumului se face cu potențiometrul R_6 (cele două tranzistoare de frecvență audio lucrează în montaj cu emitorul comun).

Fig. V.12. Schema de principiu a unui emițător pentru telecomandă prin radio, lucrând pe 9 canale.



Schema prezentată este realizată pentru o frecvență de modulație de 650 Hz.

Bobina de acord L are 20 spire, bobinate una lângă alta, cu conductor de 0,6 mm (izolație din plastic sau bumbac), pe carcasă de trolit de 10 mm.

Bobina de șoc L_s se confecționează într-o rezistență de 1 M Ω /0,5 W, pe care se bobinează un singur strat spirală lângă spirală, până când se acoperă complet rezistența, din conductor CuEm, 0,4–0,12 mm. Capetele bobinei se conectează la capetele rezistenței.

Bobina filtrului de 650 Hz (L_f) cuprinde 600 spire, bobinate din conductor CuEm, 0,15 mm, pe o bară de ferită de 30 mm lungime, cu diametrul de 10 mm.

Transformatorul de cuplaj T_1 are secundarul cu 200 spire CuEm, 0,1 mm, iar primarul — 1 000 spire din conductor CuEm, 0,05–0,1 mm. Se folosește un miez de 0,25 cm² fără întrefier.

În fig. VI.2 se prezintă schema unui adaptor ce dă calitate receptorului de a selecta două comenzi distincte. De fapt, particularitatea constă în aceea că după penultimul tranzistor T_2 se conectează două etaje, fiecare prin câte un potențiometru de volum, R_8 sau R_9 .

Filtrul LC are aceeași construcție ca în schema precedentă, însă se va acorda pe frecvența dorită.

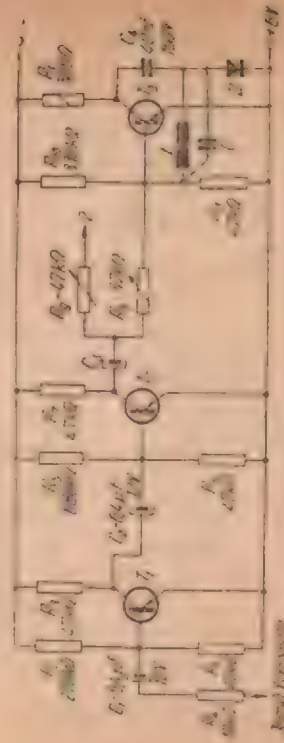


Fig. VI.2. Schema de principiu a unui adaptor pentru două canale.

Varianta din fig. VI.3 este schema unui radioreceptor cu o bună stabilitate în funcționare, care lucrează pe 27,12 MHz și este destinat unei singure comenzi. La acest radioreceptor se poate adapta un releu rezonant pentru selectarea mai multor comenzi, după indicațiile din fig. VI.4.

Transformatorul T_1 este identic cu cel din fig. VI.3. Pentru etajul de radiofrecvență (fig. VI.3) se va ține seamă de câteva particularități. Valoarea lui C_1 este diferită de la tranzistor la tranzistor. Pentru ea să nu se producă o



Fig. VI.3. Schema de principiu a receptorului la care se poate adapta un releu rezonant.

deplasare a frecvenței, pentru tipul AF 115 este indicată valoarea de 24 pF.

În ceea ce privește regimul de funcționare a etajului,



Fig. VI.4. Schema de adaptare a releului rezonant la un receptor monocanal

se observă că el este fixat prin alegerea valorilor rezistențelor R_2 și R_3 cu care trebuie să se obțină curentul de colector indicat în catalog.

Amplitudinea semnalului de joasă frecvență este determinată de capacitatea C_s . O valoare prea mare determină autooscilații (fluierături). În cazul schemei din fig. VI.3, valoarea maximă va fi 32 μ F.

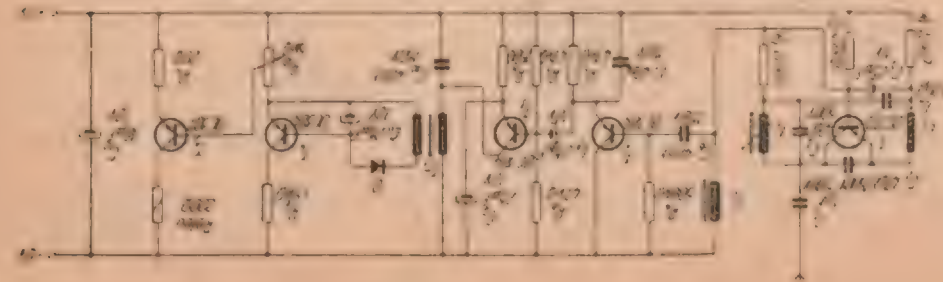


Fig. VI.5. Schema de principiu a unui receptor monocanal tranzistorizat.

Condensatorul C_7 , împreună cu primarul transformatorului Tr_2 , constituie un circuit rezonant pentru joasă frecvență.

Pentru acordul filtrului pe alte frecvențe, mai ușor se poate schimba valoarea lui C_7 , decât înfășurarea transformatorului. De exemplu, pentru 400 Hz, C_7 are 40 nF. Armonicele nedorite sînt tăiate de C_8 . În etajul final se reglează sensibilitatea releului prin poziția lui R_9 , astfel încît la întreruperea emițătorului să existe o declanșare sigură a releului.

Radioreceptorul are o sensibilitate de 5 μ V, iar în joasă frecvență, pentru 400 Hz, de 2 mV.

Alimentarea se face la 6 V (baterii de 225 mA).

Consumul este de 2 mA — în repaus — și de 25 mA — în sarcină. Randamentul ajunge la 85%.

Inductanța L are 7 spire, din conductor CuEm, 0,3 mm, înfășurate pe carcasă de trolit, cu diametrul 7,5 mm și miez de ferocart. Bobina de șoc de înaltă frecvență L_1 este confecționată din conductor CuEm, 0,12 mm, bobinat pe o rezistență de 1 M Ω /0,5 W și are o inductanță de 55 μ H.

Transformatoarele de cuplaj Tr_1 , Tr_2 sînt identice cu transformatorul Tr_3 din schema precedentă (VI.1).

În fig. VI.5 se prezintă o altă variantă de radioreceptor pentru telecomandă. Cuplajul între etajele 2 și 3 este de tip RC, ceea ce reduce greutatea aparatului prin eliminarea transformatorului.

Folosind și un releu miniatură de 200 Ω , aparatul este redus la greutatea de 45 g. A fost necesară, în schimb, adăugarea celui de al 5-lea tranzistor. Deosebirile față de schema precedentă constau în introducerea bobinei de șoc de audio-

frecvență L_2 , precum și în micșorarea capacității C_2 pînă la 2,4 μ F, pentru eliminarea autooscilațiilor.

Bobina de șoc de înaltă frecvență L_1 are o inductanță de 55 μ H și este identică cu cea din fig. VI.3.

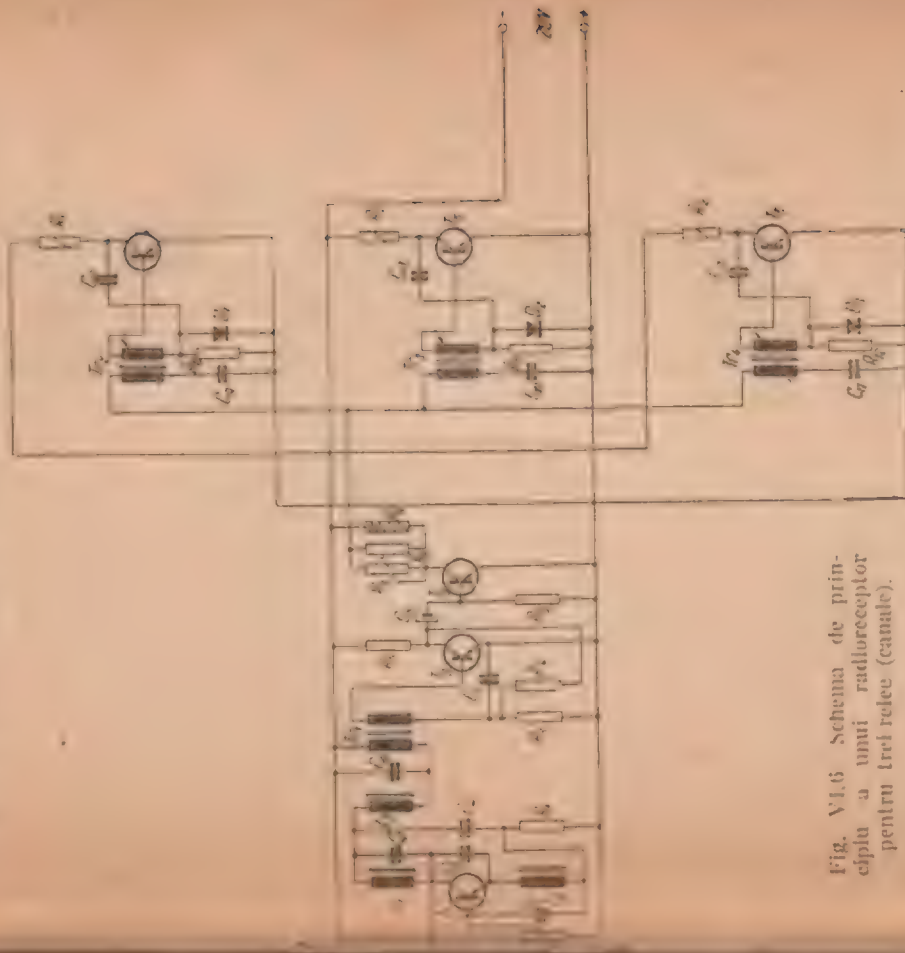


Fig. VI.6. Schema de principiu a unui radioreceptor pentru trei releu (canale).

Inductanța L are 6 spire din conductor CuEm, 0,3 mm, pe carcasă de trolit de 7,5 mm diametru, cu miez de ferocart. Bobina de șoc de audiofrecvență L_2 este de înaltă rezistență ohmică; pe un miez magnetic din tole silicioase de 18×8 mm se bobinează un conductor CuEm, 0,08—0,1 mm, pînă se obține o inductanță de aproximativ 500 mH. Transformatorul de cuplaj Tr și releul sînt identice cu cele din fig. VI.3.

Alimentarea se asigură de la o sursă miniatură de 6 V.

Radioreceptorul, a cărui schemă se prezintă în fig. VI.6, este destinat pentru lucru pe trei canale. Se observă că față de cele prezentate până acum, nu există deosebiri esențiale. Se folosesc trei etaje finale, cuplate prin transformatoarele T_2 , T_3 și T_4 acordate fiecare pe cîte o frecvență deosebită. Cele trei relee pot acționa mai multe contacte pentru a îndeplini cerințele schemei auxiliare impuse.

Schema este astfel concepută, încît să poată funcționa în cazul mai multor semnale recepționate în același timp. Ea lucrează nu mai la semnale de modulație triunghiulare, emise de un emițător special construit. La cele sinusoidale se manifestă fenomenul de interferență.

Un alt cuplaj receptor-emițător se obține prin utilizarea variantei din fig. VI.7, cu emițătorul din fig. V.4.

Cele 6 comenzi pe care încrează ansamblul fac posibilă utilizarea instalației la aeromodelare, navomodele sau alte aplicații.

Receptorul prezentat este o superreacție care lucrează pe 27,12 MHz. Frecvența de superreacție are valoarea de 80 kHz și este generată de circuitul C_4L_3 din emițătorul tranzistorului T_1 . Circuitul C_4L_2 constituie filtrul pentru înaltă frecvență.

Etajele 2 și 3 au conectat între ele un circuit de contra-reacție prin rezistența R_7 între emițătorul tranzistorului T_3 și baza tranzistorului T_2 . După etajul 4, semnalul, a cărui amplitudine a fost fixată prin valoarea rezistenței R_{11} de

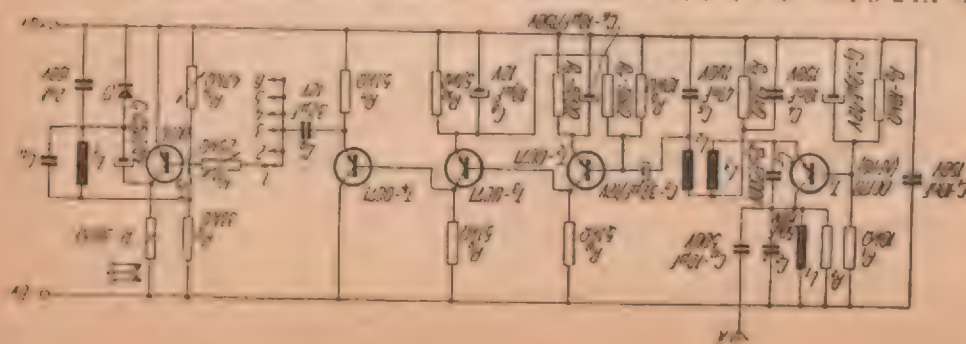


Fig. VI 7. Schema de principiu a unui receptor pentru șase canale, cu filtre de joasă frecvență.

5 k Ω , se aplică pe 6 etaje identice, fiecare acordat pe o singură frecvență de modulație. Filtrul L_1C_{12} face posibilă selecția frecvenței corespunzătoare unui singur canal. Fiecare etaj este prevăzut pe circuitul colectorului cu un releu de 300 Ω .

Dioda D redresează o parte din frecvența de superreacție și o folosește pentru negativarea suplimentară a bazei, în lipsa impulsului recepționat.

Curentul colectorului I_c , în lipsa semnalului, nu depășește cîtiva microamperi.

Dacă apare un semnal de frecvență egală cu cea a filtrului de rezonanță L_1C_{12} , tranzistorul T_3 este deblocat și curentul din colector crește la 15 mA. Prin urmare, diferența curentului în cele două situații duce la o siguranță mare în funcționarea releului.

Inductanța L_1 cuprinde 7,5 spire din conductor CuEm, 0,4 mm, bobinate una lângă alta, pe o carcasă de trolit, de diametru 5 mm, fără miez magnetic. Inductanțele L_2 , L_3 se realizează bobinind 50 spire din conductor de 0,1 mm, pe o rezistență de 1 M Ω /0,5 W.

Bobina de șoc L_4 este realizată pe o carcasă de trolit, cu miez de ferocart de 7×11 mm și se bobinează din conductor de CuEm, 0,05 mm, cît mai multe spire (după spațiul disponibil), astfel ca să se obțină o inductanță în jur de 500 mH.

Pentru capacitatea C_{12} se alege, experimental, o valoare corespunzătoare rezonanței pe frecvența de modulație ce interesează.

Instalația de selecție a frecvențelor de modulație cu ajutorul filtrelor LC îngreunează receptorul, fapt ce constituie un inconvenient. Din acest motiv, sînt preferate schemele în care sînt utilizate releele cu lame vibrante. Un asemenea releu de construcție miniaturizată asigură calități superioare în ceea ce privește greutatea receptorului și numărul mare de canale. Ca exemplu, în fig. VI. 8 se prezintă schema unui receptor simplu, cu trei tranzistoare, care acționează releul rezonant pentru 8 canale.

Acest receptor lucrează pe 27,12 MHz și se poate utiliza, împreună cu emițătorul descris pentru 3, 6 sau 9 comenzi, cu condiția ca semnalele de modulație să se acordeze pe frecvența de rezonanță a lamelor vibrante și să fie emise pe rînd (în caz contrar se produce o interferență la care releul nu mai dă rezultatele scontate).

Montajul este tot o superreacție și nu prezintă particularități deosebite. Dioda D de înaltă frecvență, conectată pe circuitul frecvenței de superreacție, ușurează tot mai mult funcționarea în superreacție.

Transformatorul de cuplaj Tr are raportul 1:5. Releul

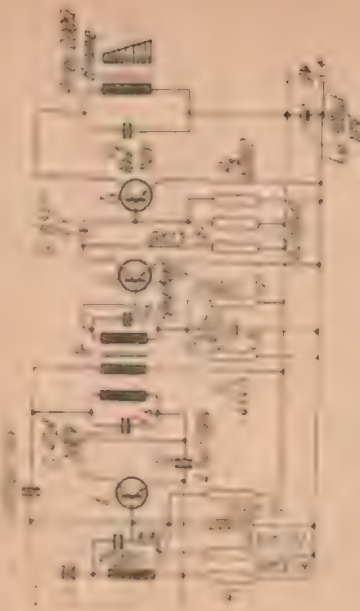


Fig. VI.8. Schema de principiu a receptorului cu 8 canale.

de lucru este alimentat prin intermediul lamei vibrante (fig. VI.9) care transformă contactul întrerupt produs de lama vibrantă în unul continuu.



Fig. VI.9. Circuit de integrare.

Inductanța L este identică cu bobina L din fig. VI.1. Bobina de șoc L_s și transformatorul de cuplaj Tr sînt de asemenea identice cu cele din fig. VI.1.

Scintecile care apar la contact, în ritmul de vibrație a lamei, sînt un mare inconvenient. Ele produc defecțiuni în scurt timp circuitului de utilizare. De aceea, se preferă alte variante de integrare, de obicei înzestrate cu cîte un tranzistor pentru fiecare lamă, montat ca amplificator de curent continuu.

În fig. VI.10 este prezentată schema unui integrator cu două tranzistoare de tip OC 76 pentru acționarea motorului M (de 2—5 W și 1 000—3 000 rot/min) în ambele sensuri.

Se presupune că este acționată lama vibrantă 1. Impulsurile de curent sînt trimise prin rezistența R_1 la baza tranzistorului T_2 . Acesta le amplifică, iar curentul său de colector, care a crescut, acționează motorul într-un anumit sens.

Cînd este acționată lama vibrantă 2, se trimite impulsurile de curent pe baza tranzistorului T_1 . Acesta, de asemenea, le amplifică, iar curentul de emitor, care a crescut, acționează în sens contrar motorul M (întrucît determină la bornele motorului o polaritate inversă față de cazul descris anterior).

Varianța din fig. VI.11 conține și tuburi cu tranzistoare pentru 8 canale.

Etajul de radiofrecvență poate fi acordat în limitele 27—29 MHz, cu ajutorul miezului bobinei L . Tubul 4 I135 primește tensiunea anodică de la un vibrator electronic înzestrat cu tranzistorul T_4 —I125. Rezistența R_2 asigură sensibilitatea prin fixarea tensiunii anodice, care este cuprinsă între 50 și 55 V.

Dacă nu se obține totuși tensiunea necesară, se modifică prin tatonări valoarea rezistenței R_7 .

Buna funcționare a lamelor vibrante se obține și prin alegerea (prin tatonări) valorii rezistenței R_8 , în jurul a 30 k Ω . Releul rezonant are 8 lame vibrante, lucrînd pe frecvențele 200—300 Hz.

Inductanța L cuprinde 17 spire (cu priză mediană), din conductor CuEm, 0,5 mm, bobinate cu pasul de 1 mm pe carcasă din sticlă organică de 10 mm.

Miezul este de ferocart, cu diametrul de 3 mm. Bobina de șoc L_s este confecționată pe o rezistență de 1 M Ω , 0,5 W pe care s-au înfășurat 50—70 spire din conductor de 0,10—0,12 mm.

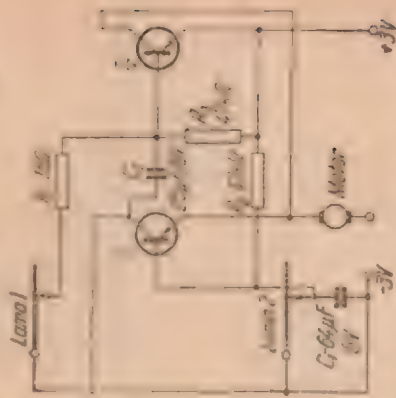


Fig. VI.10. Schema de principiu a integratorului cu tranzistoare.

Transformatorul vibratorului are un miez toroidal din bandă de permalloy, cu diametrul interior de 12 mm și secțiunea de 0,2 cm². Înfășurarea I are 80 spire bobinate

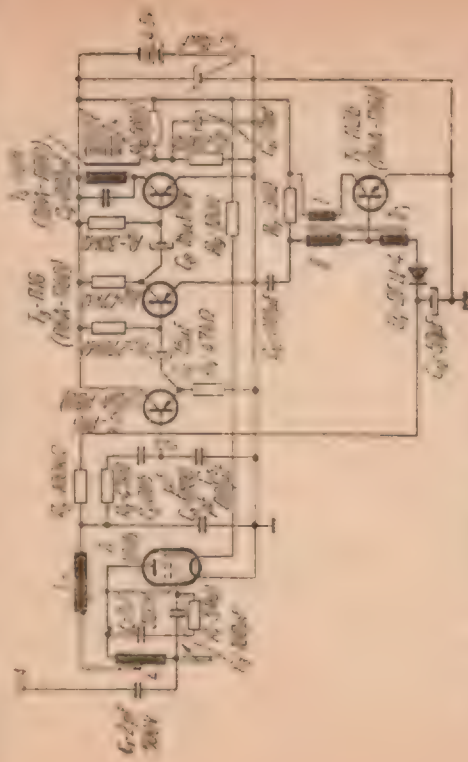


Fig. VI.14. Schema de principiu a receptorului pentru 8 canale.

din conductor CuEm, 0,2 mm, într-un singur strat. Înfășurările II—III au câte 80 spire din același conductor.

Releul rezonant are o rezistență de 120 Ω și folosește conductor de 0,12—0,15 mm.

Pentru a conecta releul de utilizare cu lamele, fără a deteriora contactele prin scutecare, trebuie să se introducă un tranzistor suplimentar care, prin amplificarea sa în curent continuu, asigură anclanșarea releului.

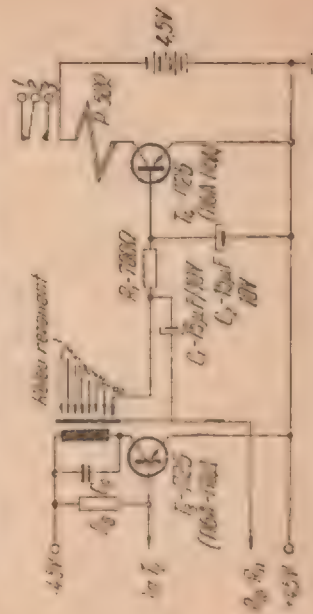


Fig. VI.12. Conectarea releului de utilizare P cu lamele vibrante, prin intermediul unui etaj amplificator.

În varianta din fig. IV.12 este prezentată o schemă ce îndeplinește condiția amplitudii.

Rezistențele R_{10} , R_{11} reduc tensiunea sursei la o valoare admisă pentru baza tranzistorului IT2B.

Polarizarea bazei se face prin capacitatea C_2 de 15 μF și rezistența R_1 de 700 Ω.

Cînd vibrează o lamă, se stabilește circuitul bazei cu sursa. În pauzele vibrațiilor, capacitatea C_2 menține continuu polarizarea bazei și tranzistorul conduce. El debitează în stare de lucru în emitor (în releu) un curent de 80—100 mA, cu toate că în circuitul bazei curentul nu depășește 0,6—0,8 mA.

Cînd nici o lamă nu vibrează, curentul de repaus prin releu este de 1—5 mA.

Există, deci, o diferență mare în cazul celor două situații și, în consecință, o funcționare bună a releului.

Sursa de alimentare de 4,5 V poate fi comună cu a receptorului. Pentru cazul unui releu de forță ce necesită un curent de anclanșare mai puternic, se va intercala înăuntru un tranzistor, ca în varianta din fig. VI.13.

În încheiere, în fig. VI.14 se prezintă schema montajului pentru aplicarea telecomenzii prin radio la un model (automobil). Cu ajutorul acesteia se poate executa comanda

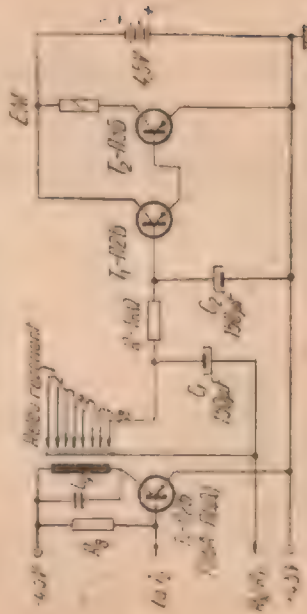


Fig. VI.13. Acționarea unui electroamagnet puternic utilizând două etaje amplificatoare.

pentru funcționarea „înainte”, „înapoi”, „stînga”, „dreapta” și „oprit”. Ultimele trei acționări sînt însoțite de semnalizare optică.

Schema reprezintă un receptor tip superreacție lucrînd pe frecvența de 27—29 MHz, iar releul rezonant are 5 lame (pentru 5 canale).

Circuitul de radiofrecvență este înzestrat cu tubul 1П3Б, alimentat cu tensiunea anodică de 50—55 V de la un vibrator asemănător cu cel din schema precedentă.

Gradul oscilațiilor de supraîncălzire se reglează prin modificarea rezistenței R_3 de 75 k Ω .

În paralel cu releul de rezonanță se conectează o cască și se variază rezistența R_3 până dispare sunetul caracteristic. Se recomandă ca rezistența R_3 să rămână la o valoare mai mare cu 20—25% decât în cazul dispariției sunetului din cască.

În schema de acționare se folosesc motoare de putere de 2—5 W și 1 000—2 000 rot/min. Raportul total de transmisie a reductorului este de aproximativ 1/1 000.

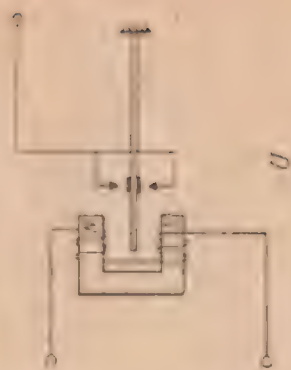


Fig. VI.14. Schema de principiu a receptorului pentru 5 canale.

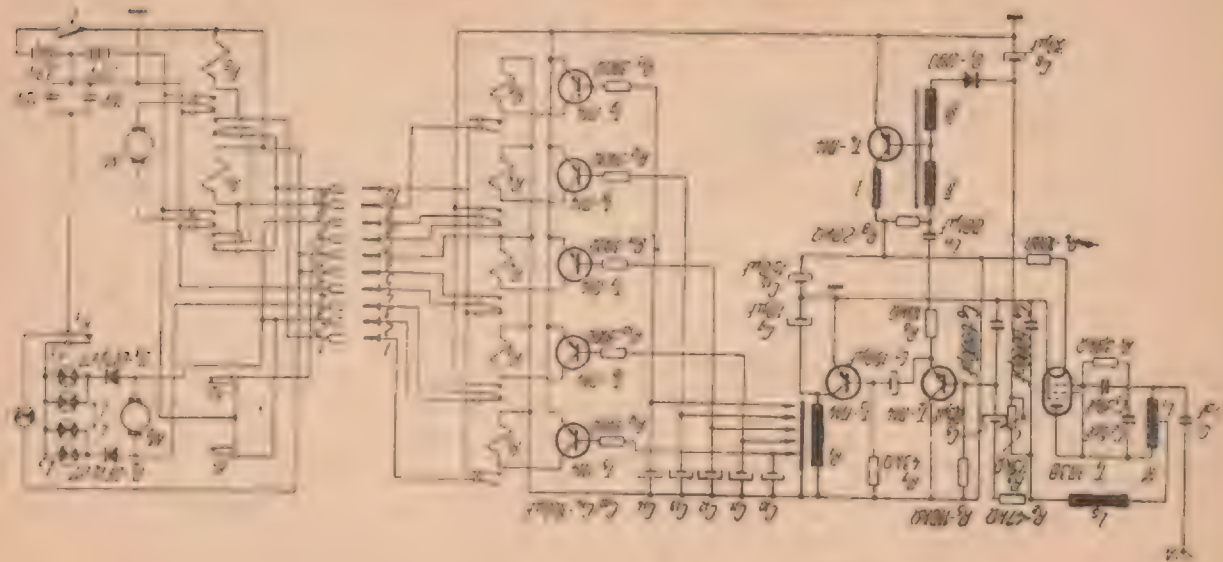


Fig. VI.15. Releu rezonant cu lame vibrante:

a — schemă; b — realizarea practică;
1 — miez magnetic; 2 — bobină; 3 — lamă vibrantă; 4 — șurub de reglaj; 5 — armătură.

INDICAȚII CONSTRUCTIVE ȘI REGLAJE

Pentru comanda „înainte”, lucrează lama I care cupleşcă releul R_2 . Acesta închide circuitul lui R_8 , care pune în mișcare motorul M_1 . Releul R_8 rămâne autoanclanșat pînă la comanda „stop”, pentru care anclanșează releul R_4 , ce întrerupe circuitul lui R_8 .

Pentru comanda „înapoi” anclanșează releul R_6 , restul elementelor schemei fiind identice — ca în cazul comenzii „înainte”.

La comanda „dreapta” se conectează releul R_5 , care închide circuitul motorului M_2 . Acesta schimbă direcția roților pînă la acționarea limitatoarelor de cursă K_1 , ce întrerup alimentarea motorului.

Becul de semnalizare a direcției se aprinde și se stinge în funcție de poziția limitatoarelor de cursă.

Explicația pentru schimbarea direcției la „stînga” este identică.

Rezistența ohmică a releelor este de $50 \cdot \Omega$.

Releul rezonant are o rezistență de $120 \cdot \Omega$ și este executat cu conductor de $0,12-0,15$ mm. Un exemplu de releu rezonant cu 3 lame vibrante este prezentat în fig. VI. 14. Acesta lucrează pe 350, 400 și 450 Hz, dar poate fi completat cu încă două lame pentru a corespunde schemei de față. Miezul este format din tole silicioase cu secțiunea de 1 cm^2 . Lamele sînt confecționate din oțel de $0,15 \times 3$ mm. Fiecare se reglează experimental pe frecvența sa, prin modificarea lungimii. Pentru început, se taie lama de $35-40$ mm. Receptorul este pus în funcțiune și modulat pe cîte o frecvență succesiv. Se recomandă folosirea unui generator standard de la care se aplică primului etaj de joasă frecvență o tensiune de aproximativ $10-15 \text{ mV}$.

Bobina de acord L_1 cuprinde 19 spire cu priză mediană, înfășurate din conductor de CuEm, $0,4$ mm, pe carcasă de 10 mm, cu miez de aluminiu de 3 mm. Bobina de șoc L_2 este identică cu cea din fig. VI. 11. Transformatorul (toroidal) vibratorului are un miez din bandă de permalloy, cu lățimea de 5 mm și grosimea de $0,05$ mm. Secțiunea miezului este de $0,25 \text{ cm}^2$. Înfășurarea I are 200 spire, înfășurarea II — 100 spire și III — 300 spire, toate înfășurările fiind din conductor CuEm. $0,15-0,17$ mm.

Exemplele de emițătoare și receptoare realizate, care s-au prezentat, lucrează pe frecvența de $27,12 \text{ MHz}$.

Construcătorul unei instalații de genul celor descrise observă cu ușurință că există o mare posibilitate de combinații a emițătoarelor cu receptoarele.

Pentru început este nevoie să se impună numărul de comenzi ce trebuie transmise, ca apoi să se aleagă schemele pentru combinația dorită.

Se va ține seamă întotdeauna de frecvențele de modulație, care trebuie să fie aceleași la emițător și la receptor. De fapt, modulatorile emițătoarelor sînt astfel concepute, încît reglajul frecvenței să se facă ușor prin modificarea capacităților, reglarea miezurilor magnetice sau a potențio metrelor.

Pentru alegerea unui ansamblu se procedează în felul următor : se alege schema unui receptor cu numărul de canale dorite și apoi se caută un emițător cu același număr de frecvențe modulatorie, fiecare acordate pe frecvența corespunzătoare pe care lucrează receptorul.

1. Indicații pentru emițătoare

Există și astăzi tendința de a se construi emițătoare pentru telecomandă în care circuitele de radiofrecvență să fie echipate cu tuburi, iar partea de joasă frecvență cu tranzistoare. Se consideră că o asemenea combinație nu mai are sens. De la o zi la alta apar tranzistoare cu caracteristici de frecvență tot mai bune. Problema înlocuirii unui tranzistor de o fabricație cu altul, de care se dispune, nu face obiectul prezentei lucrări, mai ales că există suficiente cataloage care pot ușura asemenea operații.

Totuși, se amintește că pentru circuitele de $27-29 \text{ MHz}$, atît ale emițătoarelor cît și ale receptoarelor descrise, pot fi înlocuite între ele următoarele tipuri de tranzistoare (cu condiția de a respecta tensiunea de polarizare a bazei și curențul de colector prescris în cataloage : II 401—II 414 ($f_a = 30 \dots 200 \text{ MHz}$) cu 0A1, OC170, OC 614 și AF 115 și

cu tranzistoare de fabricație românească de tip : EFT-132, EFT-317 și EFT-320 ($f_a = 30$ MHz).

Orice tip de tranzistor care are frecvența de lucru mai mare de 27 MHz poate fi utilizat, dacă se respectă condiția de funcționare prevăzută. Această condiție, specificată schemelor pentru telecomanda prin radio, este stabilitatea emițătorului în frecvență. De aceea, se recomandă din nou să se utilizeze cristalul de cuarț, fără de care va exista o instabilitate a frecvenței.

Trebuie avut în vedere factorul de calitate al pieselor din etajele de radiofrecvență. Capacitățile mici, de ordinul picofarazilor, vor avea izolația din trolit, calit sau stiroflex.

Bobinele se vor executa pe materiale izolante superioare cum ar fi trolitul sau calitul.

Ceea ce reține atenția în mod deosebit este acordul montajului în radiofrecvență și cuplarea cu antena. Prezența oscilațiilor etajului pilotat cu cuarț se constată într-un mod simplu, prin măsurarea curentului de colector sau de emitor. Se montează, deci, un miliampermetru pe emitor și se reglează elementele schemei despre care s-a amintit în capitolul precedent (rezistența de polarizare a bazei, capacitățile circuitelor oscilante) până se obține un minim de curent. Se trece apoi la acordul etajului final și al sistemului de cuplare cu antenă. Dacă se ia, de exemplu, schema din fig. V.1, se observă că antena este cuplată prin intermediul unui filtru de armonici în II (filtru Colins). Reglajul lui se face la fel ca în cazul emițătoarelor folosite în telecomunicații și se arată în continuare.

Se conectează antena la emițător prin intermediul ampermetrului termic (sau al unui bec obișnuit de consum mic : 1,25 V și 0,1 A). Pe emitorul tranzistorului final se conectează un miliampermetru cu care se urmărește curentul acestuia, care nu trebuie să depășească valoarea admisă.

Mai este necesar un măsurător de cimp. Emițătorul are randamentul maxim când prin reglarea capacităților din filtru Colins se obține o deviație maximă a acului ampermetrului termic (iluminarea maximă a becului) și o indicație maximă a instrumentului măsurătorului de cimp plasat la câțiva metri de emițător.

Dacă ampermetrul termic indică normal, dar măsurătorul de cimp nu sesizează un maxim, acesta este cazul oscilațiilor parazite de frecvențe superioare sau inferioare celei utile, deci emițătorul nu lucrează corect.

Se mai poate folosi în locul măsurătorului de cimp bucla lui Hertz, confecționată dintr-o spirală cu diametru egal cu cel al bobinei și conectată la un bec cu neon. Când antena radiază undele utile, becul luminează puternic. Se potrivește



Fig. VII.1. Schema de principiu a unui măsurător de cimp.

distanța față de emițător în așa fel, încât să se beneficieze de opoartă observată la becul cu neon.

În fig. VII.1 se prezintă schema unui măsurător de cimp. Microampermetrul de 100—150 μ A nu este nevoie să fie etalonat, întrucât folosește numai pentru orientare.

Schema reprezintă un circuit oscilant acordat pe frecvența de 27,12 MHz, care recepționează semnalul, îl detectează, îl amplifică și îl trimite în instrumentul indicator. În timpul lucrului măsurătorul va fi plasat la câțiva metri de emițător.

Bobina L are 11 spire din conductor CuEm, 0,6 mm, pe carcasă de 7 mm, cu miez de ferocart. Antena, de tip telescop, are o lungime de 1,25 m.

Bobina de șoc L_1 are 2 000 spire (poate folosi și o casă telefonică de 200—500 Ω).

2. Indicații pentru receptoare

Și la radioreceptoarele pentru telecomanda modelelor sînt valabile indicațiile date în capitolul precedent cu privire la folosirea altor tipuri de tranzistoare și alegerea pieselor cu calități corespunzătoare.

Montajele se execută pe plăcuțe din pertinax sau textolit de 1—2 mm groșime, urmărindu-se realizarea unui gabarit cât mai mic. Totuși, piesele vor fi astfel montate, ca să fie accesibile pentru verificări.

La tranzistoarele ce lucrează cu puteri de disipație mai mari ca 150 mW se recomandă radiatoare termice confecționate din tablă de cupru.

Punerea la punct este bine să se execute pentru fiecare etaj în parte. Se va acorda atenție fixării tensiunii de polarizare a bazei și limitării curentului de colector la valoarea admisă.

Reglarea receptorului pentru funcționarea optimă, în prezența semnalului de modulație, se execută astfel: se ia, de exemplu, cazul schemei din fig. VI.3. Se conectează o cască telefonică la transformatorul de cuplaj Tr_2 , ca în fig. VII.2.

La distanța de 1—2 m de emițător trebuie să se audă puternic tonul de modulație, fără fluctuații. Altfel, este nevoie să se mărească valoarea capacității C_2 sau să se micșoreze C_g . Se conectează apoi casca în paralel cu releul de acționare și se introduce semnalul de modulație pe baza primului tranzistor din etajul de joasă frecvență.

Se recomandă utilizarea unui generator standard, de la care se va trimite tensiunea de 10 mV cu frecvența corespunzătoare unei lame vibrante.

Dacă nu se aude în cască un sunet puternic și curat este necesară verificarea calității tranzistoarelor și regimul de lucru asigurat de tensiunile de polarizare ale bazei. Cu această ocazie se reglează și distanțele dintre lamele vibrante și contactele fixe ale releului de rezonanță.

3. Metode de pilotaj cu ajutorul echipamentelor de telecomandă prin radio

Atunci când dispunem de un echipament de radiocomandă la distanță, care funcționează perfect și asigură toate comenzile fără întârziere, totul este în ordine și nu există probleme privind comanda la distanță a unui mobil teleghidat.

Totuși, pentru executarea unei bune comenzi de către aeromodelul sau navomodelul respectiv este necesar ca persoana care lucrează cu acest gen de instalații să dea mare importanță comenzilor ce trebuie executate, pentru ca instalarea de radiocomandă să le execute fără erori.

Este curios de constatat că numeroși specialiști de telecomandă de modele reduse dau mare atenție echipamentului lor de radiocomandă neglijând complet chestiunile de pilotaj propriu-zis.

Difficultățile de pilotaj sînt foarte diferite și pentru un navomodel care se deplasează pe un singur plan, față de un aeromodel care evoluează în 3 dimensiuni, diferența este destul de mare.

În cazul unui model redus de vapor care evoluează pe suprafața apei, prima dificultate este noțiunea de perspectivă.

Pilotul care vede, de exemplu, un obstacol în fața sa face virarea vaporușului împrejurul acestui obstacol mai ales cînd viteza vaporușului este destul de redusă, iar distanța apropiată. Atunci cînd distanța dintre pilot și navomodel este mai mare există posibilitatea să se facă unele erori datorită unghiului de observație redus. Totuși, după un timp de antrenament oarecare pilotul se obișnuiește cu manevrarea aparatului și pilotarea se face mai corect. Atunci cînd distanța de la pilotul ce se găsește cu aparatul de emisie pe malul apei pînă la navomodel depășește 60 m, aprecierea devine totuși destul de dificilă.

A doua dificultate, mult mai serioasă ca prima, este pilotarea de la distanță a aeromodelelor care lucrează pe mai multe canale și unde atenția trebuie foarte mult mărită, avînd în vedere viteza destul de mare a aeromodelului, precum și direcția lui de deplasare. Atunci cînd atenția operatorului nu este suficient îndreptată către aeromodelul care evoluează, ne putem da seama ce se poate întîmpla: sfîrșirea în bucăți a acestui aeromodel, pe cînd în primul caz navomodelul nu li se pot întîmpla aceste lucruri. Avînd în vedere cele de mai înainte privind pilotarea navomodelelor și aeromodelelor, întotdeauna se cere o mare atenție din partea piloților de mobile telecomandate prin radio — pentru a evita distrugerea materialelor. În concluzie, se cere ca înainte de a pleca la un concurs pe apă sau în aer, instalarea de radio trebuie bine verificată și pusă la punct, iar manevrarea ei trebuie cunoscută perfect.

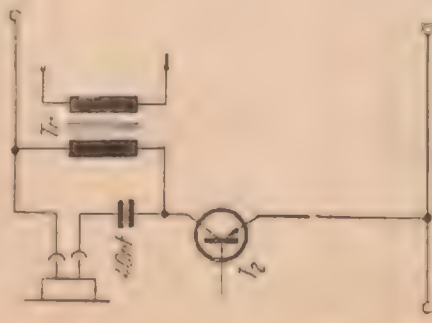


Fig. VII.2. Schema de conectare a căștii telefonice.

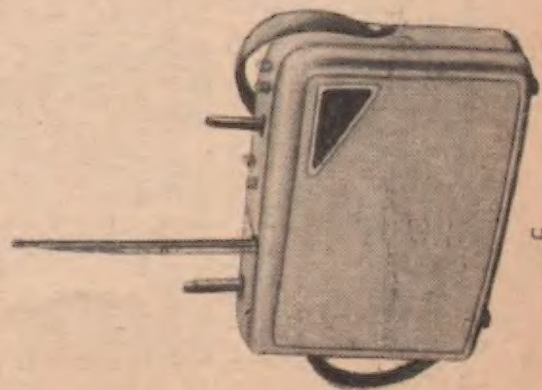
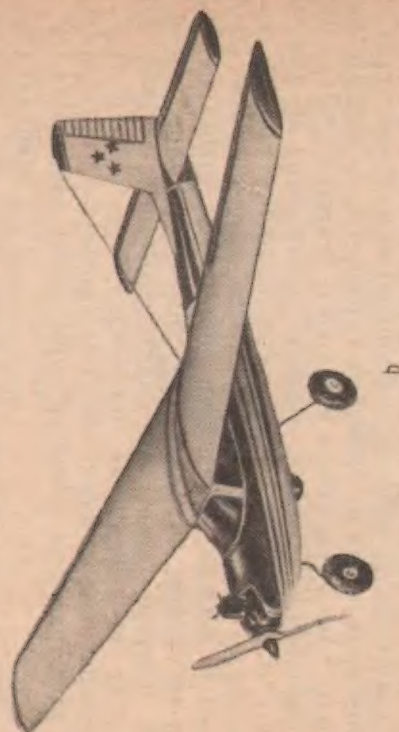
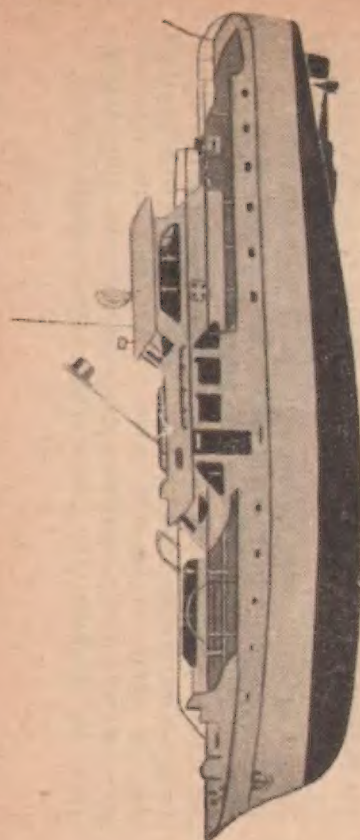


Fig. VII.3. Realizări practice
de modele telecomandate :
a — navomodel ; b — aeromodel ;
c — emițător.

Înainte de începerea concursului se controlează, pe
cît posibil, dacă tensiunile de alimentare, atît ale emițăto-
rului cît și ale receptorului sînt absolut corecte, se pun ambele
stații în funcțiune și, de la distanța de cîțiva metri între
una și alta, se fac cîteva probe de manevrare a comenzilor
pentru a ne da seama încă odată că echipamentul nostru de
radiocomandă funcționează corect.

În fig. VII. 3 se prezintă două exemple de realizări prac-
tice de modele telecomandate.

BIBLIOGRAFIE

1. Circuite cu tranzistoare în telecomunicații, București, Editura tehnică, 1963.
2. Alexiu, I. și Daniliuc, N. Relee electronice, București, Editura tehnică, 1962.
3. Sler, Roman. Tranzistorul — principii și circuite, București, Editura tehnică, 1957.
4. Dingher, Al., Dima, M., Airinei, N. și Stănculescu, O. Comunicații la mare distanță, București, Editura transporturilor și telecomunicațiilor, 1964.
5. Tănăsescu, T. Circuite cu tranzistoare. București, Editura tehnică, 1961.
6. Gălbănaru V. M., Buznea, D. D. și Stănic, E. A. Semicconductoare în telecomunicații, București, Editura tehnică, 1962.
7. Ilin, V. A. Sisteme de telemecanică pentru obiecte dispersate, traducere din 1. rusă, București, Editura tehnică, 1962.
8. Biro P. Antene pentru radioamatori, Colecția radio, București, Editura tehnică, 1958.
9. Klementiev, S. D. Teleavtomatika. Moscova, Gosudarstvennoe ucebno-pedagogičeskoe izdatelstvo Ministerstva prosveșćenia, R.S.F.S.R., 1958.
10. Macoveanu, L. Aparate de emisie și recepție de unde scurte și ultrascurte. Colecția Radio, București, Editura tehnică, 1958.
11. Revista Funkkamateur, p. 192/1964; nr. 7 p. 226/1964, R.D.G.
12. Jurnal „Krlia rodni” nr. 2/1958.
13. Revista Funktechnik nr. 7, p. 209/1962, R.F.G.
14. Revista Funkchau nr. 12, p. 305/1960, nr. 10, p. 253/1961, nr. 14, p. 379/1962, R.F.G.
15. Ridouard D. Télécommande à transistors, Paris, 1964.

TABLA DE MATERIE

Cap. I. Principiile telecomenzii prin radio	3
Cap. II. Principalele scheme-bloc pentru telecomanda prin radio....	6
Cap. III. Particularitățile radioemitoarelor pentru telecomanda modelor	14
1. Scheme de principiu ale radioemitoarelor	14
2. Modulația radioemitoarelor pentru telecomanda modelelor	20
Cap. IV. Particularitățile radioreceptoarelor pentru telecomanda modelor	24
1. Scheme de principiu ale radioreceptoarelor	24
2. Etapele de joasă frecvență și dispozitivele de selectare din radioreceptoare	27
Cap. V. Scheme practice de radioemitoare pentru telecomanda modelelor	28
Cap. VI. Scheme practice de radioreceptoare pentru telecomanda modelor	41
Cap. VII. Indicații constructive și reglaje	55
1. Indicații pentru emitoare	55
2. Indicații pentru receptoare	57

Redactor responsabil : Ing. CORNELIA BLAGA
Tehnoredactor : THEODOR IVAN

*Dat la cules 28.09.1965. Bun de tipar 10.12.1965. Apărut 1966.
Tiraj 4.000+140. Broșatr. Hîrtie semivolantă de 63 g/mp, 14.
340x440/16. Culi editoriale 302. Culi de tipar 4. A. 11.211/1965.
C. Z. pentru bibliotecile mari 629.12/13.001.57 : 62—39. C. Z.
pentru bibliotecile mici 629.*

Intreprinderea Poligrafică „13 Decembrie 1918”
Str. Grigore Alexandrescu nr. 89—97, București,
Republica Socialistă România
Comanda nr. 1856.

Colecția

RADIO ȘI TELEVIZIUNE 1966

Gh. Mungu

**CONSTRUCȚII RADIO. APARATE DE
MĂSURAT**

Gh. Stănculescu, F. Diaconescu

**CONSTRUCȚII RADIO. EMIȚĂTOARE
DE MICĂ PUTERE**

C. Șerbu

**CONSTRUCȚII RADIO. ANTENE DE
RADIO ȘI TELEVIZIUNE**

St. Sprinceană, C. Florea

**CONSTRUCȚII RADIO. TELECOMANDA
PRIN RADIO A NAVO ȘI AEROMODE-
LELOR**

L. Babulac, M. Silipșteanu

REGLAJE AUTOMATE ÎN TELEVIZIUNE

I. Roth

**TELECOMUNICAȚII PRIN SATELIȚI AR-
TIFICIALI**

G. Zamfir, T. Pleșoianu

**PERTURBAȚII RADIO ȘI ÎNLĂTURAREA
LOR**

COLECȚIA RADIO ȘI TELEVIZIUNE

ST. SPRÎNCEANĂ,
C. FLOREA



CONSTRUCȚII RADIO TELECOMANDĂ PRIN RADIO A NAVO ȘI AEROMODELELOR

EDITURA TEHNICĂ